

Geometria delle collisioni nucleo-nucleo

Collisioni multiple

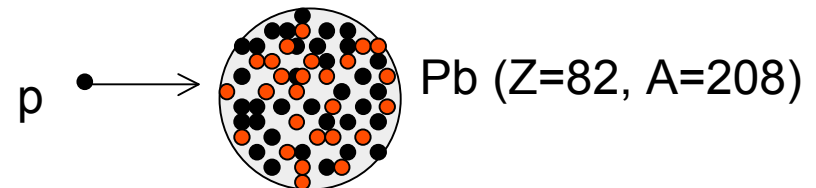
- Obiettivo: descrivere l'interazione nucleo-nucleo in termini di collisioni "elementari" tra nucleoni

⇒ Collisione pp : ci sono 2 nucleoni coinvolti (il proiettile e il bersaglio) che collidono una sola volta tra di loro

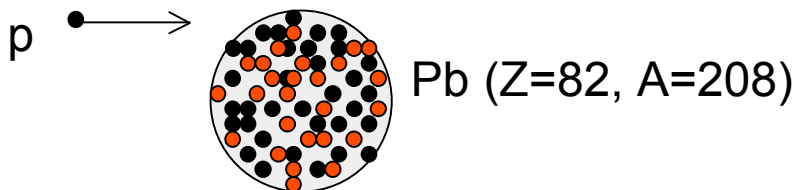
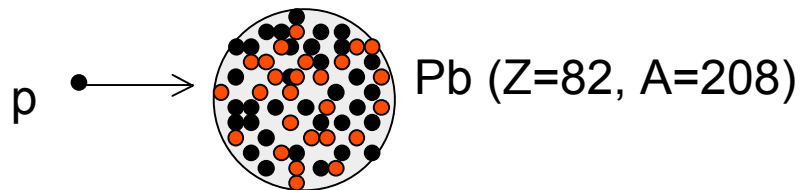
✓ *Numero di collisioni = 1* *Nucleoni coinvolti (partecipanti) = 2*

⇒ Collisione pA: ci sono più di due nucleoni coinvolti: il proiettile (p) che fa diverse collisioni con i nucleoni (p e n) del bersaglio (A)

✓ *Il numero di collisioni aumenta con la grandezza del nucleo bersaglio*



✓ *E anche con il "parametro di impatto"*

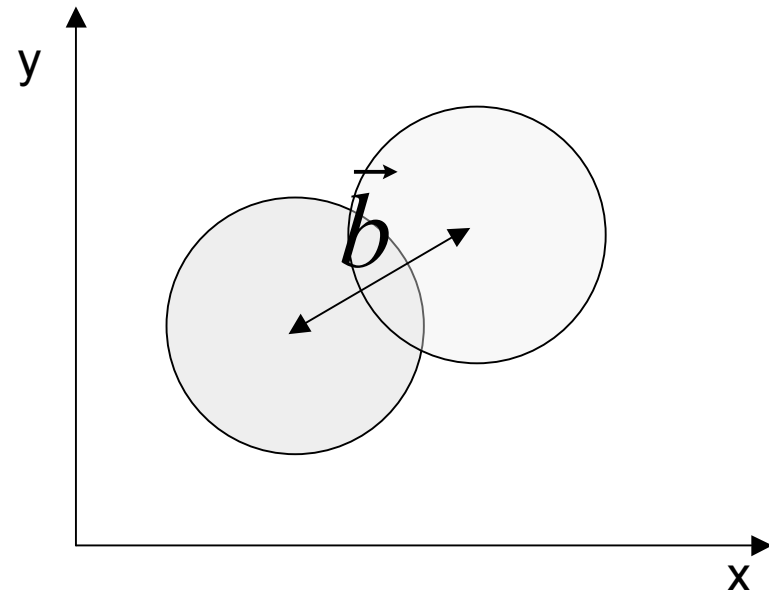
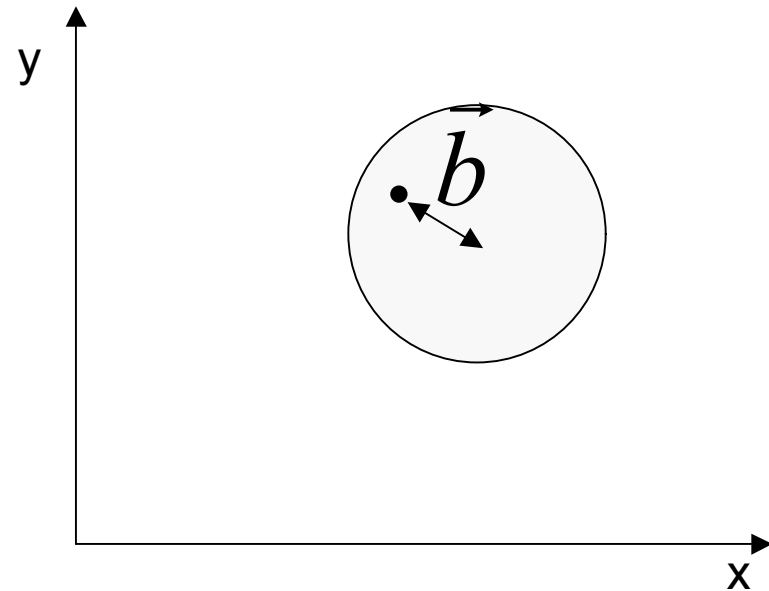


✓ *Numero di collisioni = N*

Nucleoni coinvolti (partecipanti) = 1+N

Parametro di impatto

- In collisioni pA: vettore nel piano trasverso definito dal proiettile (puntiforme) e il centro del nucleo bersaglio
⇒ = distanza di massimo avvicinamento tra il protone proiettile e il centro del nucleo bersaglio
- In collisioni AA: vettore nel piano trasverso definito dai centri dei due nuclei

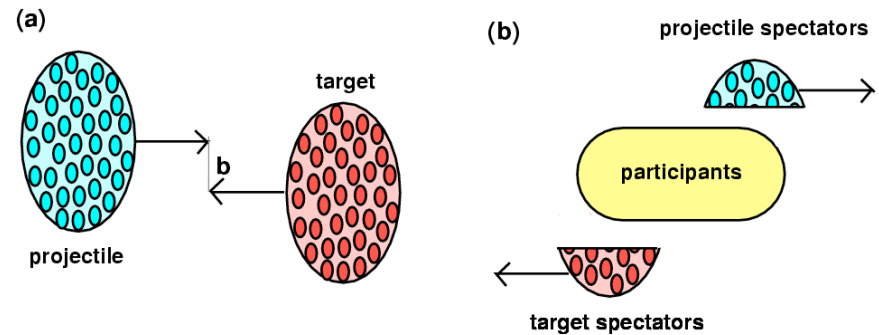


Collisioni nucleo-nucleo

- Il *parametro di impatto* (b) determina la "centralità" della collisione

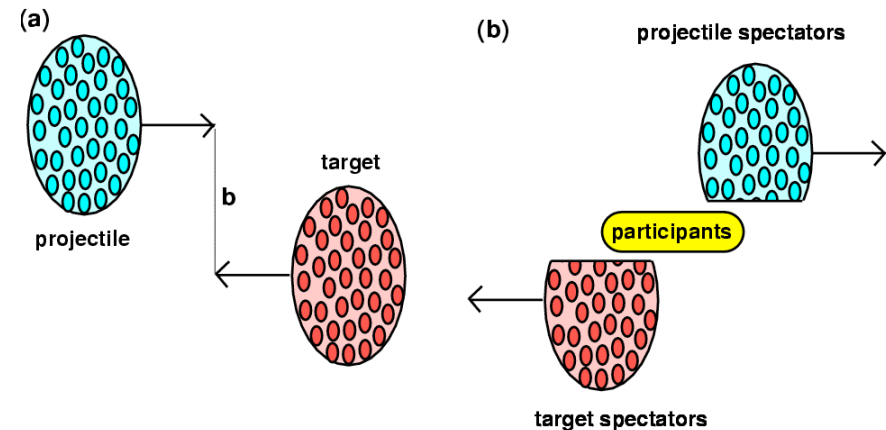
⇒ COLLISIONI CON PICCOLO PARAMETRO DI IMPATTO (CENTRALI)

- ✓ *Molti nucleoni coinvolti nell'interazione*
- ✓ *Molte collisioni tra nucleoni*
- ✓ *Grande volume di interazione*
- ✓ *Molte particelle prodotte*



⇒ COLLISIONI CON GRANDE PARAMETRO DI IMPATTO (PERIFERICHE)

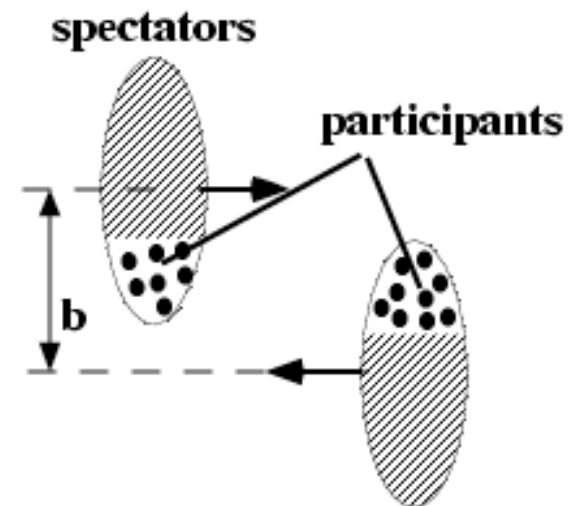
- ✓ *Pochi nucleoni coinvolti nell'interazione*
- ✓ *Poche collisioni tra nucleoni*
- ✓ *Piccolo volume di interazione*
- ✓ *Poche particelle prodotte*



Modello di Glauber

Modello di Glauber

- Modello semi-classico per la geometria della collisione tra due nuclei con parametro di impatto b
- Interazione tra nuclei espressa come sovrapposizione incoerente di interazioni tra i nucleoni che costituiscono il nucleo
 - ⇒ Si può descrivere la collisione nucleo-nucleo con il calcolo delle probabilità
 - ✓ *La collisione di due nuclei è una sequenza di eventi (=collisioni tra nucleoni) indipendenti*
- Permette un calcolo quantitativo di:
 - ⇒ Probabilità di interazione
 - ⇒ Numero di collisioni elementari nucleone-nucleone (N_{coll})
 - ⇒ Numero di nucleoni partecipanti (N_{part})
 - ✓ *Si definiscono partecipanti i nucleoni nel volume di "overlap" dei due nuclei che collidono*
 - ✓ *Chiamati anche "Wounded nucleons"*
 - ⇒ Numero di nucleoni spettatori
 - ✓ *Sono quelli che non partecipano*
 - ⇒ Dimensioni della regione di overlap
 - ⇒ ...



Modello di Glauber: assunzioni di base (“Optical limit”)

- I nucleoni all'interno dei nuclei sono considerati puntiformi
 - ⇒ Dimensione del nucleone \ll dimensione del nucleo
- I nucleoni all'interno dei nuclei sono considerati indipendenti
 - ⇒ Nell'interazione tra un nucleone del nucleo proiettile e un nucleone del nucleo bersaglio si trascura l'effetto degli altri nucleoni che compongono i nuclei collidenti
 - ⇒ Buona approssimazione ad alte energie in cui la lunghezza d'onda di DeBroglie dei nucleoni del nucleo proiettile è molto minore della tipica distanza tra due nucleoni all'interno del nucleo bersaglio (tipicamente di ≈ 1.2 fm)
 - ✓ *Ad esempio alle energie SPS ($p_{BEAM} = 160$ GeV/c)*

$$\lambda = \frac{\hbar}{p} = \frac{\hbar c}{pc} \approx \frac{197 \text{ MeV} \cdot \text{fm}}{160 \text{ GeV}} \approx 10^{-3} \text{ fm}$$

Modello di Glauber: assunzioni di base (“Optical limit”)

- Il nucleo (e quindi i nucleoni che lo costituiscono) viaggia in linea retta e non viene deflesso nell'interazione
 - ⇒ Buona approssimazione ad alte energie
 - ✓ *Ad alte energie l'impulso trasverso scambiato nella collisione è trascurabile rispetto alla componente longitudinale*
 - ⇒ A basse energie i nuclei sono deflessi rispetto alla traiettoria lineare per via della repulsione coulombiana
 - ✓ *In questi casi si può usare un “Coulomb modified Glauber model” che tiene in conto della deflessione coulombiana.*
- I protoni e i neutroni sono indistinguibili

Modello di Glauber: altre approssimazioni

- La sezione d'urto per una collisione elementare nucleone-nucleone è la stessa per tutto il passaggio di un nucleone attraverso il nucleo bersaglio.
 - ⇒ Un nucleone dopo la prima interazione passa in uno stato eccitato ("baryon-like object") e quindi nelle successive collisioni potrebbe interagire con una diversa sezione d'urto
 - ⇒ Motivo dell'approssimazione: ad alta energia tempo tra due collisioni \ll tempo di formazione delle particelle prodotte nella collisione

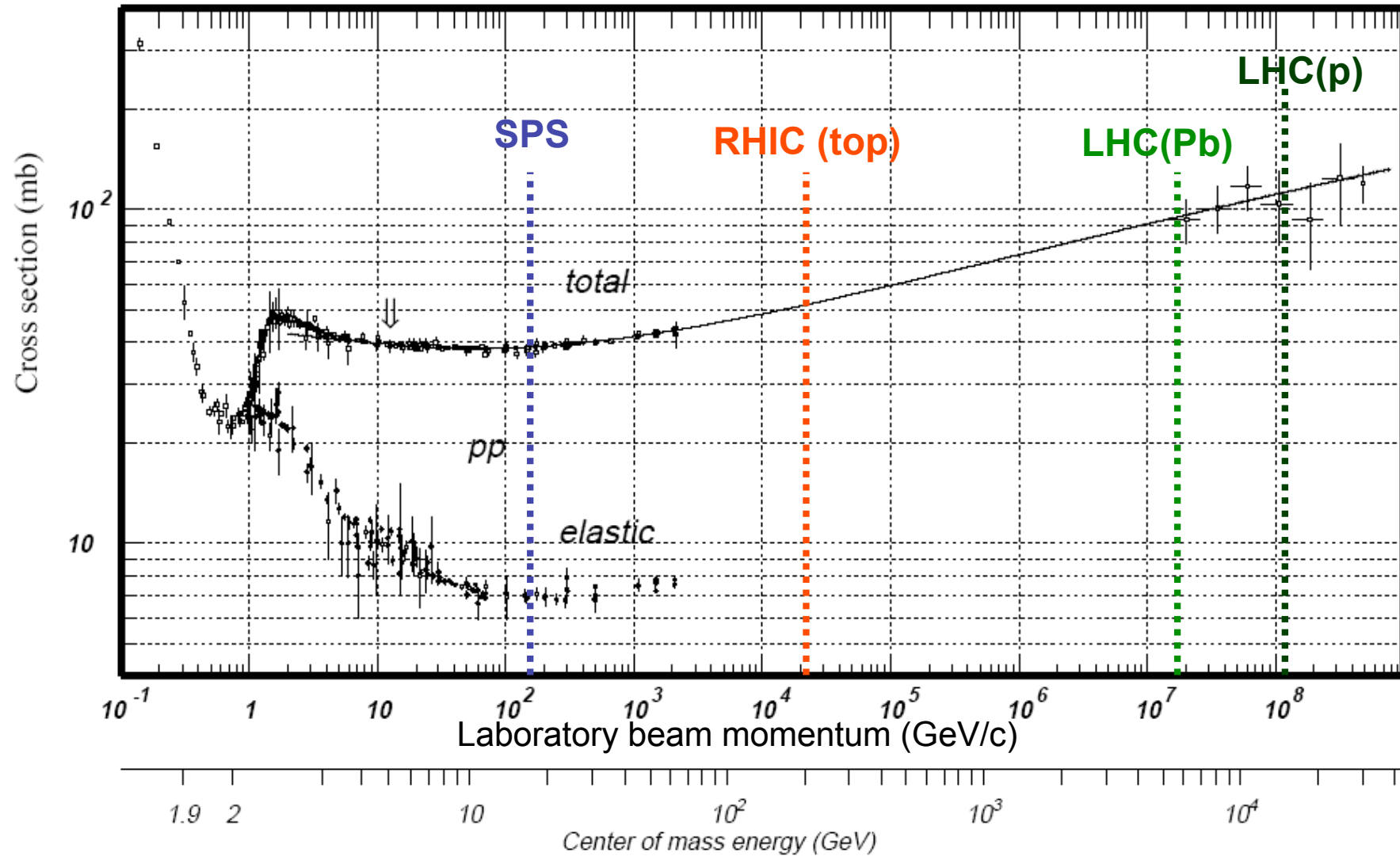
$$\tau_{Coll} \approx \frac{D_{NN}}{\beta\gamma c} \approx \frac{1.2 \text{ fm}}{\gamma c} \rightarrow \text{proiettile a } 160 \text{ GeV}/c, \text{ bersaglio fisso} \rightarrow \frac{1.2 \text{ fm}}{160c} = 0.0075 \text{ fm}/c$$

$$\tau_{Form} \approx \frac{\hbar}{m_T} \approx \frac{\hbar}{\sqrt{m^2 + p_T^2}} \rightarrow \text{pione da } 500 \text{ MeV}/c \rightarrow \frac{197 \text{ MeV} \cdot \text{fm}}{\sqrt{140^2 + 500^2} \text{ MeV}} = 0.38 \text{ fm}/c$$

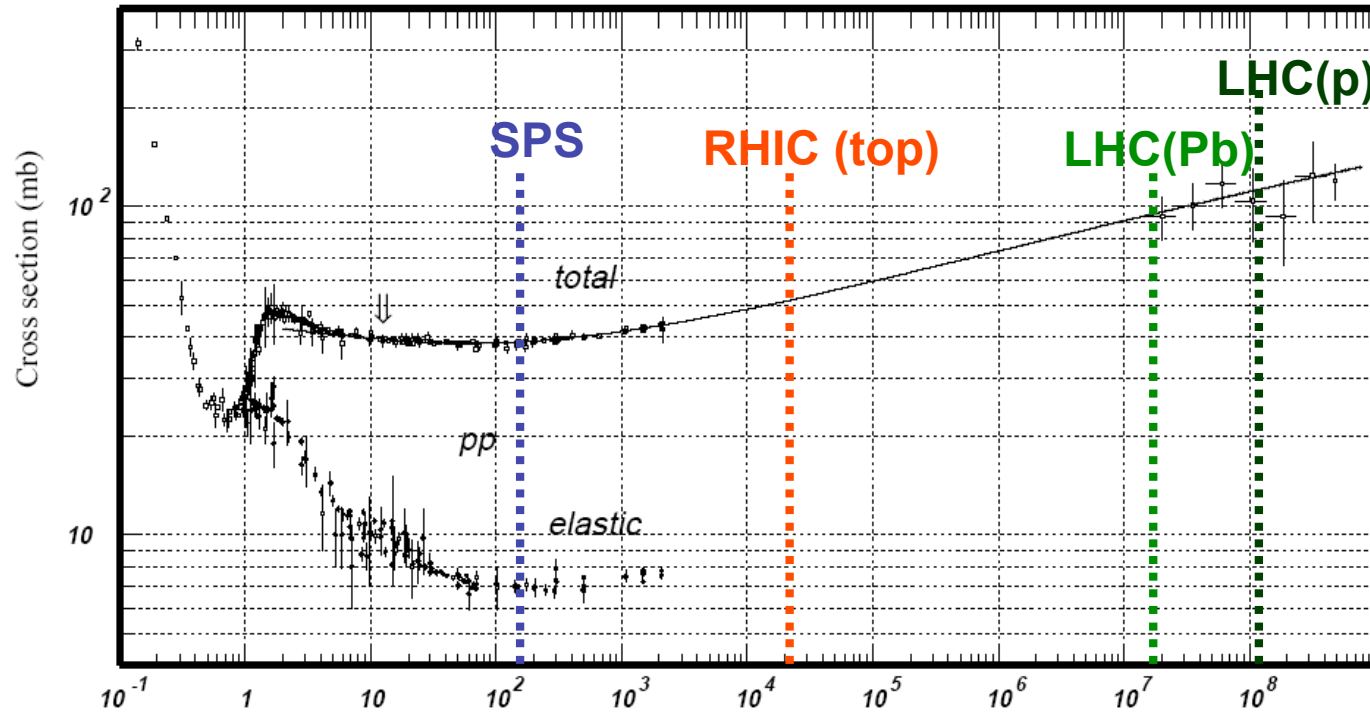
Physical input

- **Sezione d'urto nucleone-nucleone**
 - ⇒ Dipende dall'energia (\sqrt{s}) della collisione
 - ⇒ La sezione d'urto ha diverse componenti:
 - ✓ *Elastica*
 - ✓ *Inelastica*
 - ✓ *Diffrattiva*
 - ⇒ Nei calcoli della geometria di collisioni nucleo-nucleo con il modello di Glauber si usa normalmente la componente inelastica (σ_{inel}) e si trascurano le collisioni elastiche e diffrattive
 - ✓ *nelle collisioni elastiche e diffrattive la perdita di energia del nucleone è piccola e quindi può essere trascurata.*
- **Distribuzione della densità di nucleoni all'interno del nucleo**
 - ⇒ Da misure di scattering deep-inelastico

Sezione d'urto (I)



Sezione d'urto (II)



Accel.	AGS	SPS	RHIC	LHC(Pb)	LHC(p)
\sqrt{s} (GeV)	3-5	17	200	5500	14000
σ_{total} (mb)	40	40	50	90	100
σ_{inel} (mb)	21	33	42	60	79

Densità di nucleoni nel nucleo

- 2-parameter Fermi (Woods-Saxon)

densità di nucleoni a centro del nucleo

$$\rho(r) = \frac{\rho_0}{1 + e^{(r-r_0)/\delta}}$$

"skin depth"

raggio nucleare

- 3-parameter Fermi

$$\rho(r) = \left(1 + W \frac{r^2}{r_0^2} \right) \frac{\rho_0}{1 + e^{(r-r_0)/\delta}}$$

deformazione rispetto alla Woods-Saxon

- 3-parameter Gauss

$$\rho(r) = \left(1 + W \frac{r^2}{r_0^2} \right) \frac{\rho_0}{1 + e^{(r^2-r_0^2)/\delta^2}}$$

- ...

Esempi di densità di nucleoni (I)

- Nucleo di Pb ($Z=82$, $A=208$)

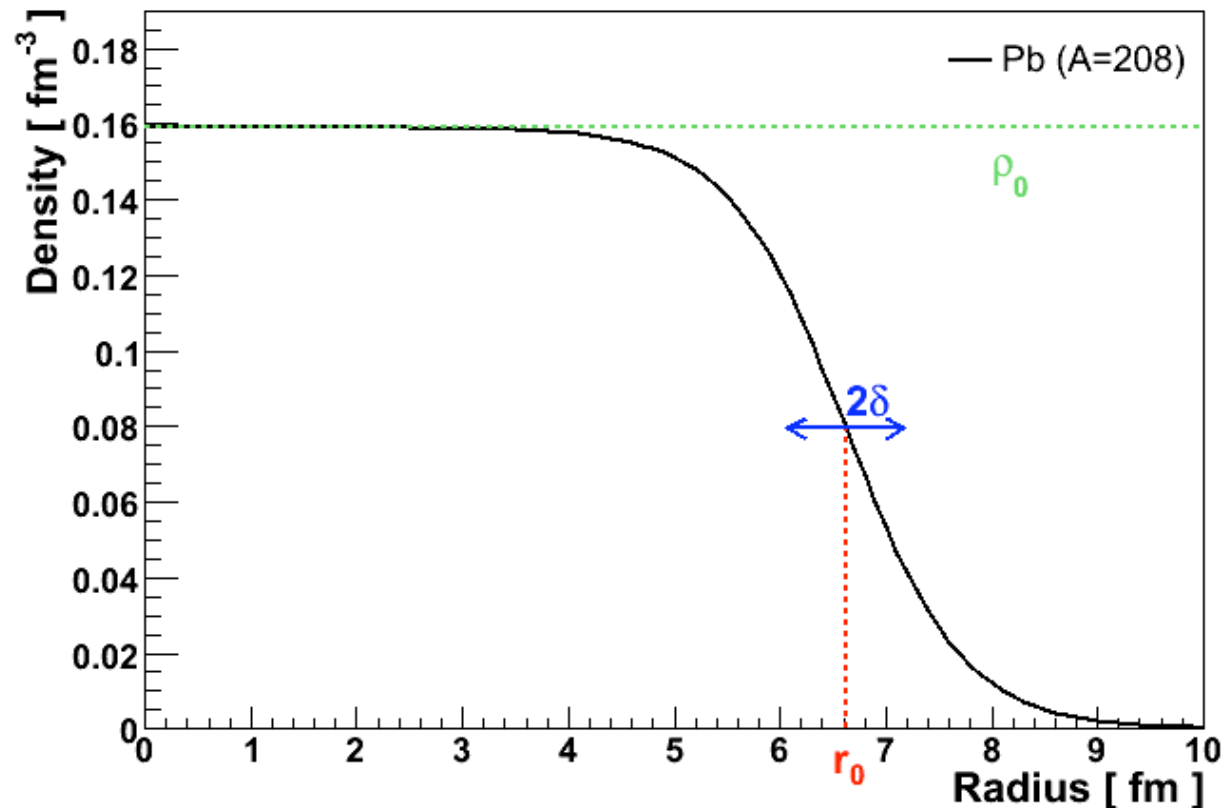
⇒ parametrizzazione 2pF

⇒ $r_0 = 6.624$ fm

⇒ $\delta = 0.549$ fm

⇒ $\rho_0 = 0.159$ fm⁻³

$$\rho(r) = \frac{\rho_0}{1 + e^{(r-r_0)/\delta}}$$



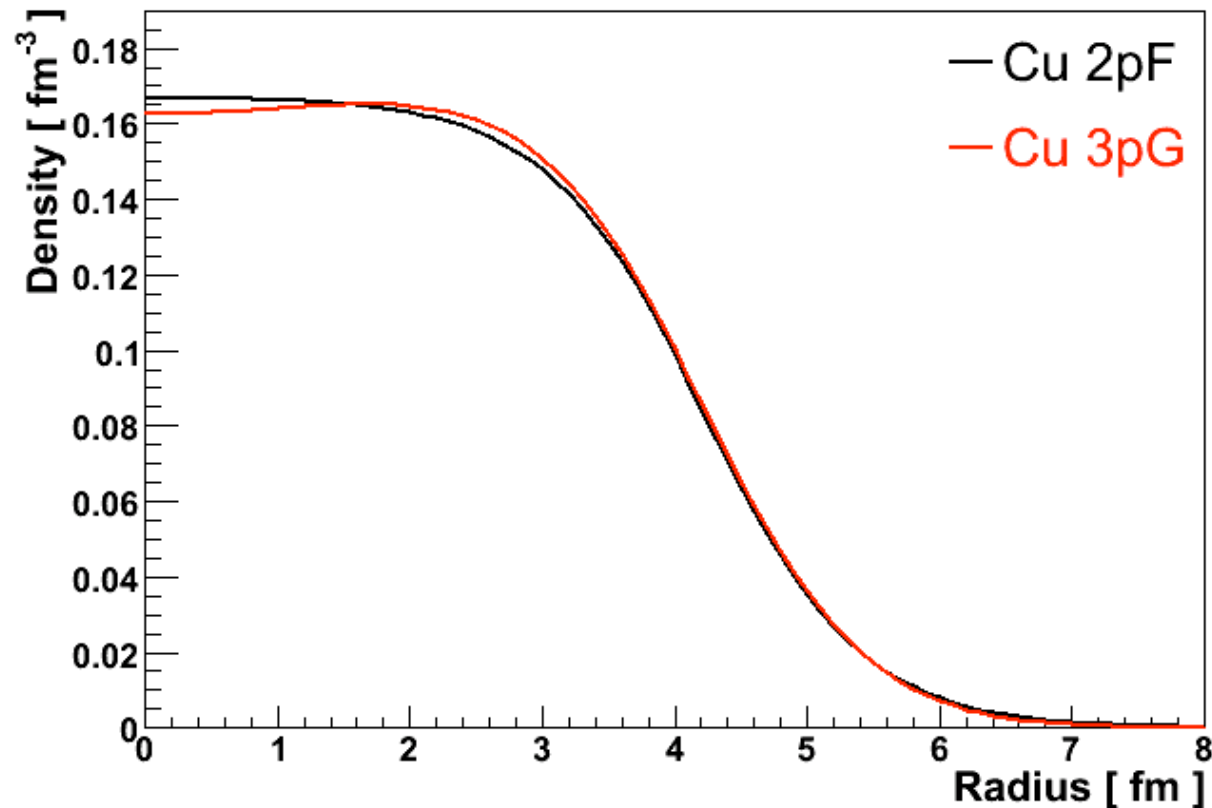
Esempi di densità di nucleoni (II)

- Nucleo di Cu ($Z=29$, $A=63$)

⇒ 2 parametrizzazioni:

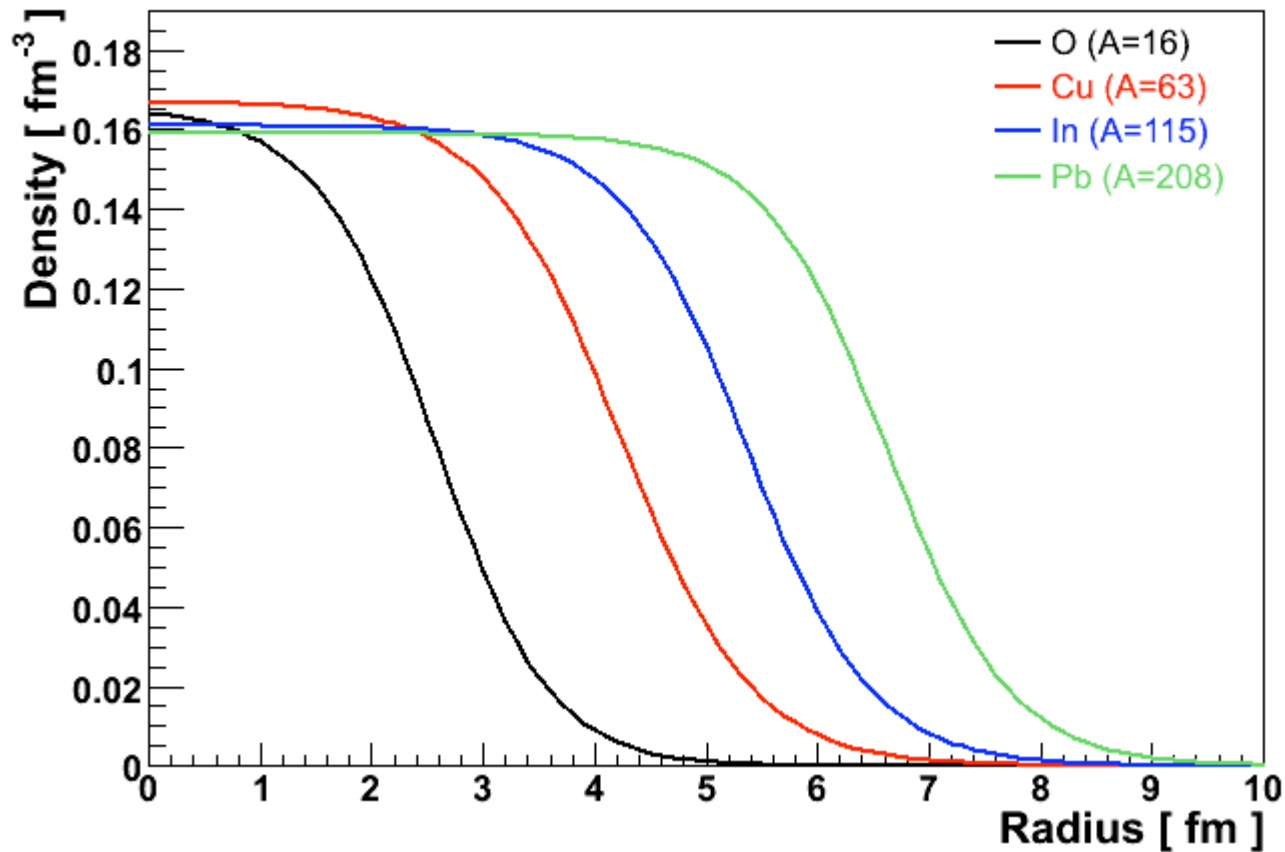
✓ $2pF$

✓ $3pG$



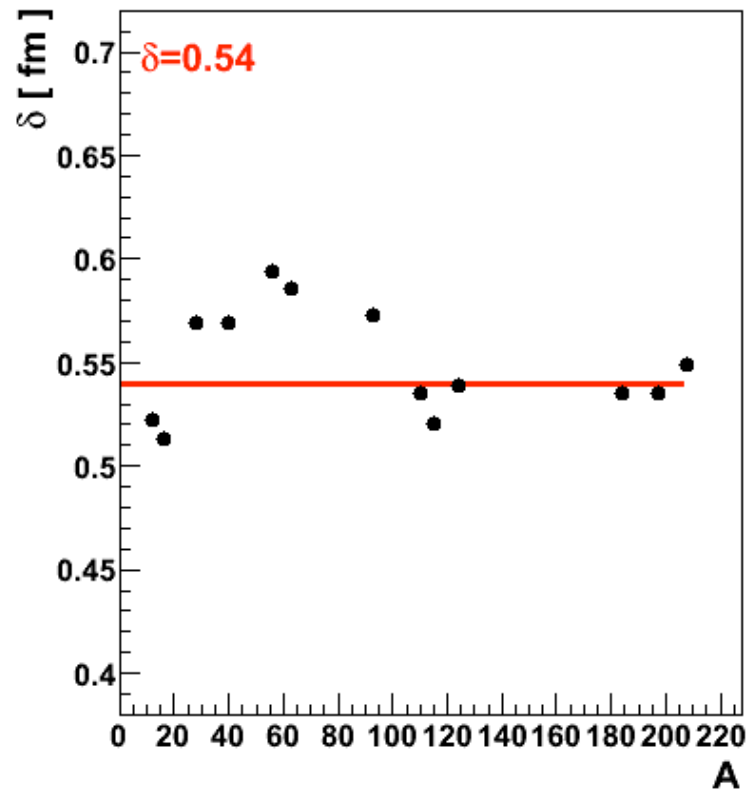
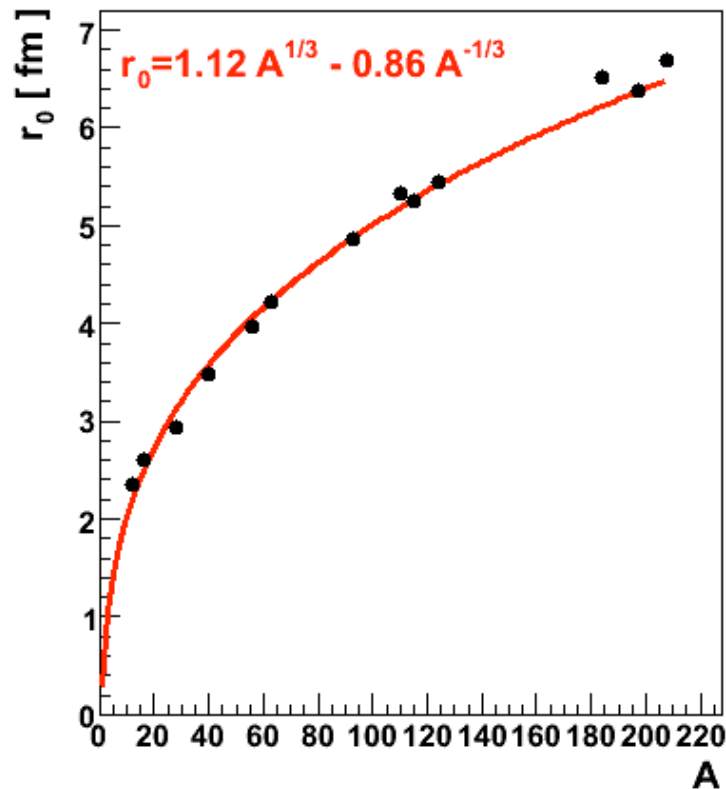
Esempi di densità di nucleoni (III)

- 4 diversi nuclei, da uno leggero (O) a uno pesante (Pb)



Parametri delle densità nucleari

- Punti (in nero) presi dai parametri dei fit alle misure di scattering deep inelastico
 - 📖 DeJager et al, At. Data and Nucl. Data Tables (1979)
- Semplice parametrizzazione in funzione del numero di massa A (Curve in rosso)



Geometria dei nuclei collidenti

Configurazione nucleare

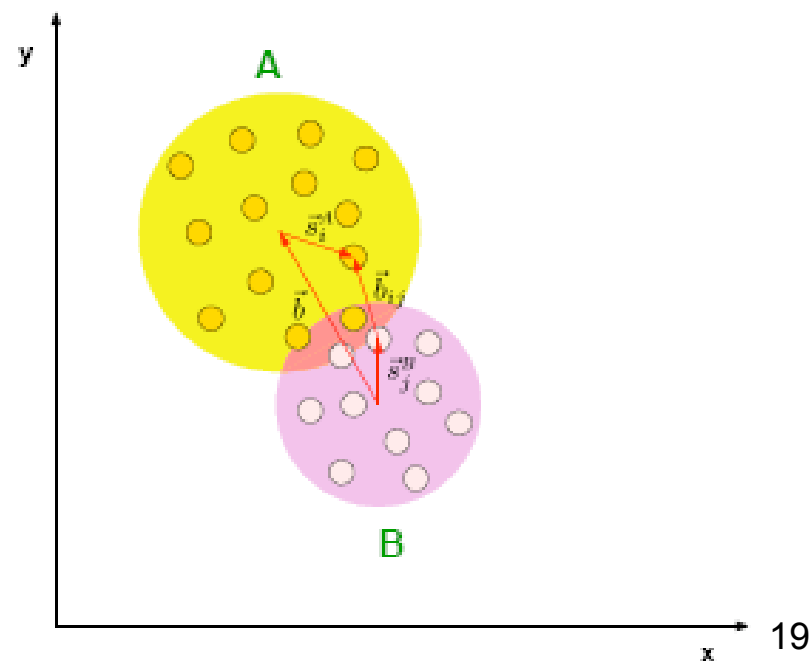
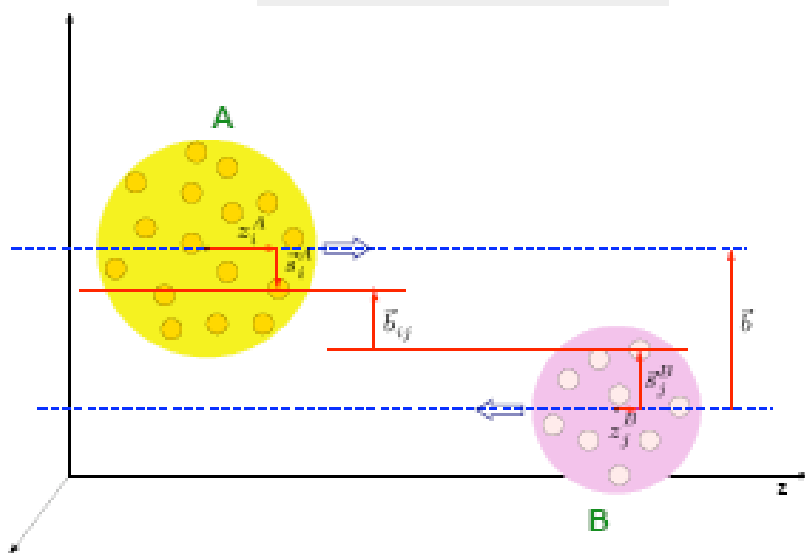
- Una configurazione nucleare è definita dalle coordinate dei nucleoni che costituiscono il nucleo

⇒ Ad esempio per il nucleo A

$$\left\{ (x_1^A, y_1^A, z_1^A), \dots, (x_i^A, y_i^A, z_i^A), \dots, (x_A^A, y_A^A, z_A^A) \right\} \Rightarrow \left\{ \vec{s}_i^A, z_i^A \right\}$$

con:

$$\vec{s}_i^A = (x_i^A, y_i^A)$$

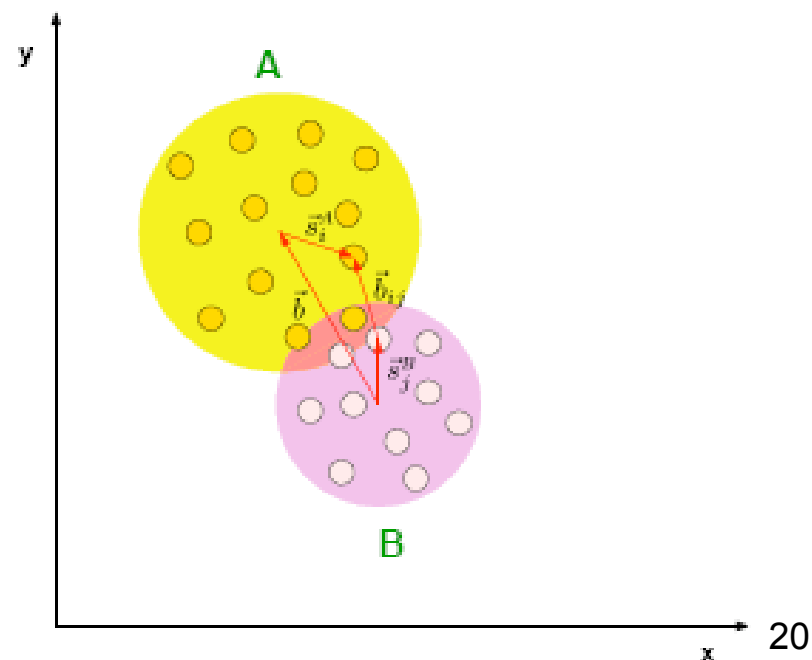
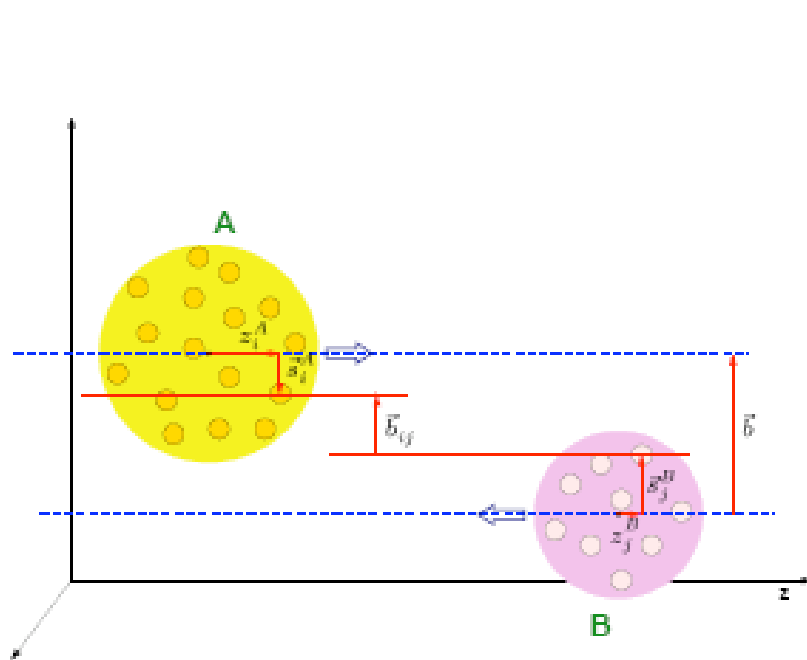


Configurazione nucleare

- La probabilità di avere un nucleone nell'elemento di volume $d^2s dz$ in posizione (s, z) del nucleo A è data da:

$$\rho_A(\vec{s}_i^A, z_i^A) d^2s_A dz_A$$

⇒ dove $\rho_A(s_i^A, z_i^A)$ è la densità di nucleoni all'interno del nucleo A



Nuclear thickness function

- Si usa l'approssimazione che i nucleoni viaggiano in linea retta
 - ⇒ Le coordinate $\{s_i^A\}$ non cambiano dopo le collisioni
 - ⇒ La coordinata lungo l'asse del fascio z_i^A non è rilevante
- In questa approssimazione la configurazione nucleare è definita solo dalle coordinate $\{s_i^A\}$ sul piano trasverso e si può definire la "nuclear thickness function" :

$$T_A(\vec{s}_A) = \int_{-\infty}^{+\infty} dz_A \rho_A(\vec{s}_i^A, z_i^A)$$

- ⇒ che rappresenta la probabilità di trovare un nucleone nel nucleo A alla coordinata trasversa \mathbf{s}_A
- ⇒ La nuclear thickness function è normalizzata in modo che:

$$\int d^2s T_A(\vec{s}_A) = 1$$

Normalizzazione della nuclear thickness function

- Perché rappresenti una probabilità la nuclear thickness function deve essere normalizzata in modo che:

$$\int d^2s T_A(\vec{s}_A) = \int d^2s dz_A \rho_A(\vec{s}_A, z_A) = 1$$

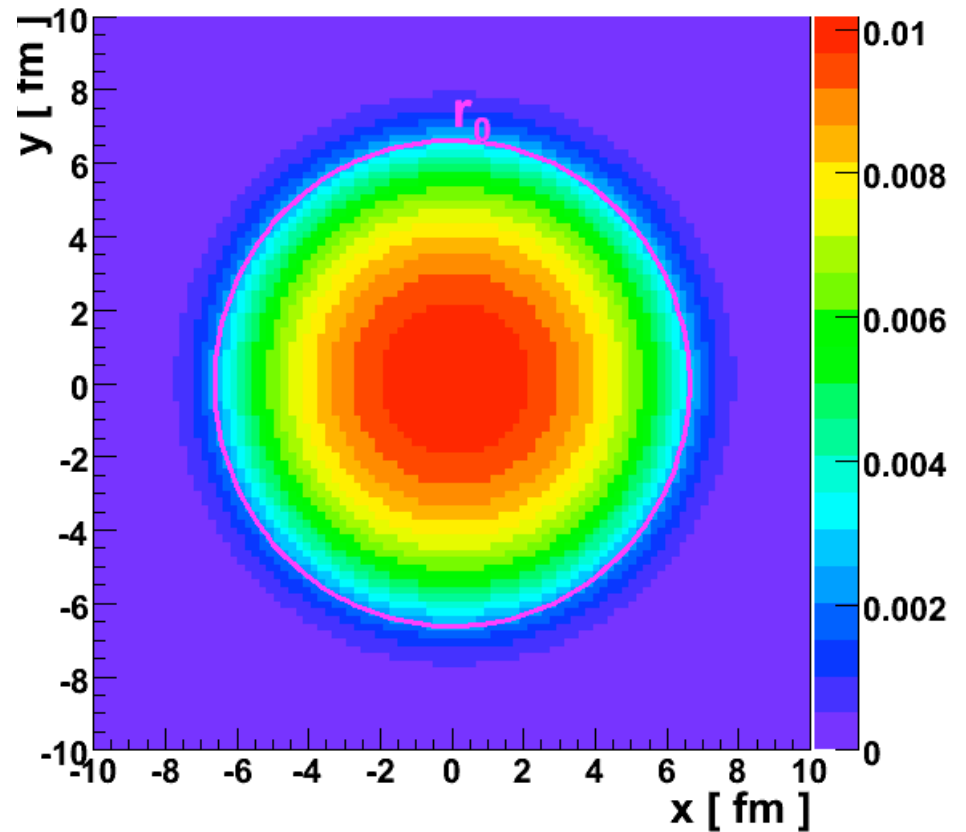
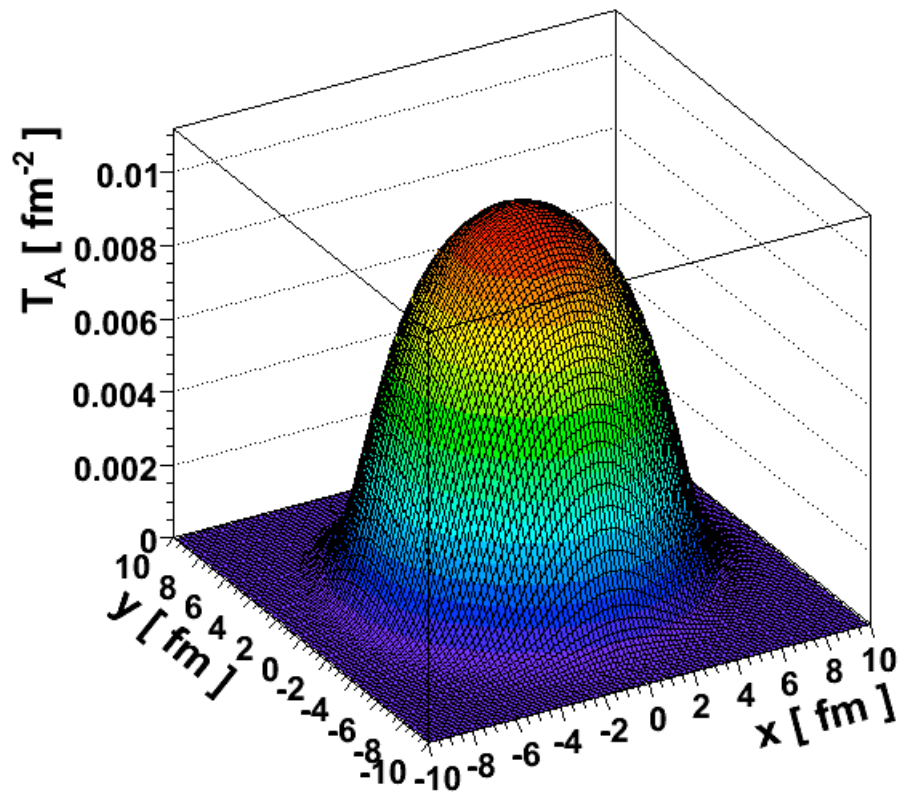
⇒ Poiché l'integrale delle densità di nucleoni all'interno del nucleo $\rho(r)$ mostrate in precedenza sono normalizzati al numero di nucleoni A , le densità nucleari devono essere definite come

$$\rho_A(\vec{s}_i^A, z_i^A) = \frac{1}{A} \rho(r)$$

Grafici di T_A (I)

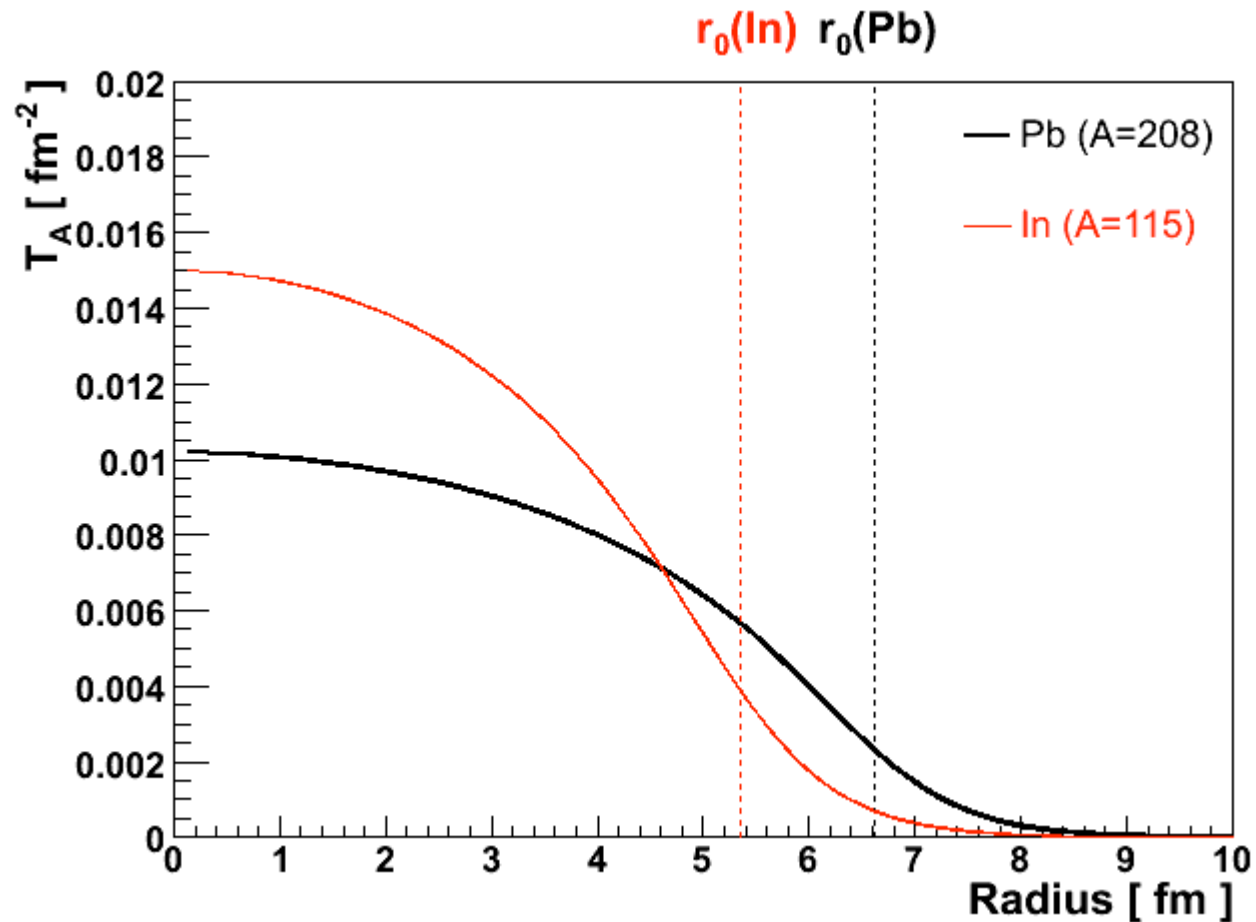
- $T_A(x,y)$ per il nucleo di Pb

⇒ Data la simmetria sferica del nucleo, $T_A(x,y)$ dipende solo dal raggio r



Grafici di T_A (II)

- $T_A(x,y)=T_A(r)$ per In e Pb
 $\Rightarrow T_A$ è normalizzato in modo che $\int d^2s T_A(s)=1$



Coordinate sul nucleo bersaglio

- La nuclear thickness function del nucleo B è:

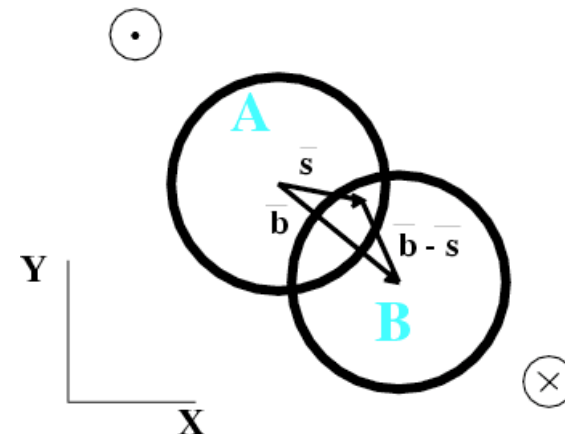
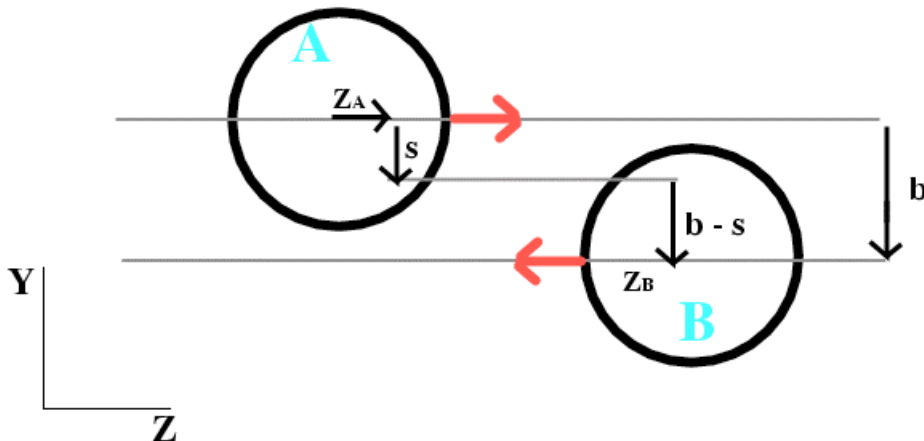
$$T_B(\vec{s}_B) = \int_{-\infty}^{+\infty} dz_B \rho_B(\vec{s}_i^B, z_i^B)$$

- Nel sistema di coordinate centrato sul centro del nucleo A si ha:

$$\vec{s}_A = \vec{s} \quad \vec{s}_B = \vec{b} - \vec{s}$$

da cui

$$T_B(\vec{b} - \vec{s}) = \int_{-\infty}^{+\infty} dz_B \rho_B(\vec{b} - \vec{s}, z_i^B)$$

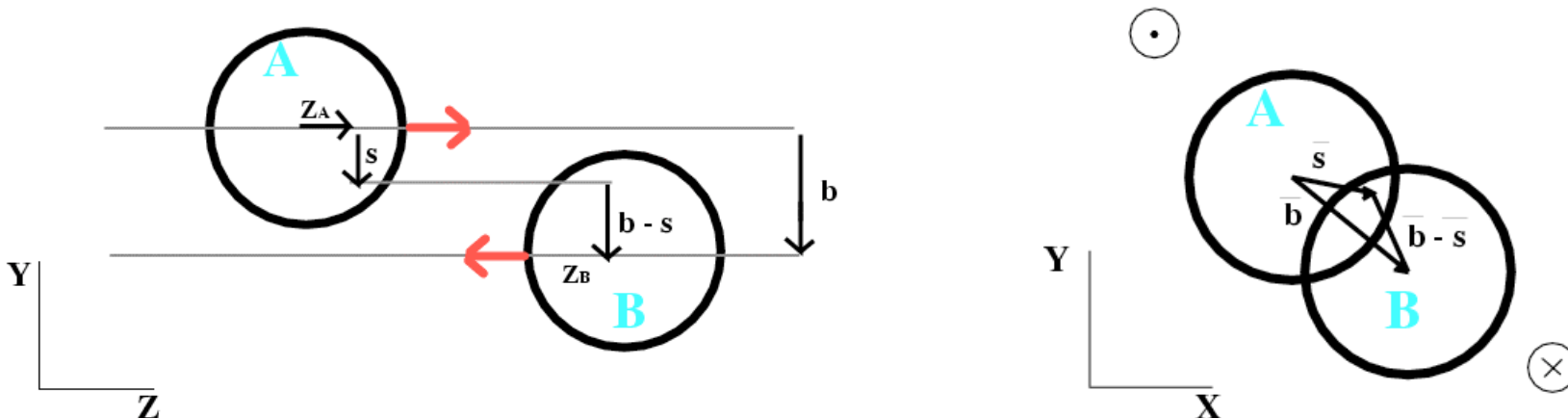


Probabilità di interazione

Probabilità di una collisione nucleone-nucleone (I)

- La probabilità che in un elemento di area trasversa d^2s (con coordinate s rispetto al nucleo A e $b-s$ rispetto al nucleo B) avvenga una collisione nucleone-nucleone e' data dal prodotto di:
 - ⇒ probabilità di avere un nucleone del nucleo A nell'area d^2s
 - ⇒ probabilità di avere un nucleone del nucleo B nell' area d^2s
 - ⇒ sezione d'urto per una collisione inelastica nucleone-nucleone

$$dP = d^2s \cdot T_A(\vec{s}) \cdot T_B(\vec{b} - \vec{s}_B) \cdot \sigma_{inel}$$



Probabilità di una collisione nucleone-nucleone (II)

- La probabilità che in una collisione di due nuclei A e B a parametro di impatto b avvenga una collisione tra due nucleoni e' data da:

$$P_1(b) = \int dP = \sigma_{inel} \int d^2s T_A(\vec{s}) T_B(\vec{b} - \vec{s}) = \sigma_{inel} T_{AB}(\vec{b})$$

- Dove si è introdotta la *nuclear overlap function*:

$$T_{AB}(\vec{b}) = \int d^2s T_A(\vec{s}, z) T_B(\vec{b} - \vec{s}, z)$$

⇒ in cui $T_A(\vec{s})T_B(\vec{b}-\vec{s})d^2s$ rappresenta la probabilità di avere un nucleone del nucleo proiettile A e un nucleone del nucleo bersaglio B nella stessa unità di area d^2s sul piano trasverso

⇒ $T_{AB}(\vec{b})$ ha le dimensioni dell'inverso di un'area (es. fm^{-2})

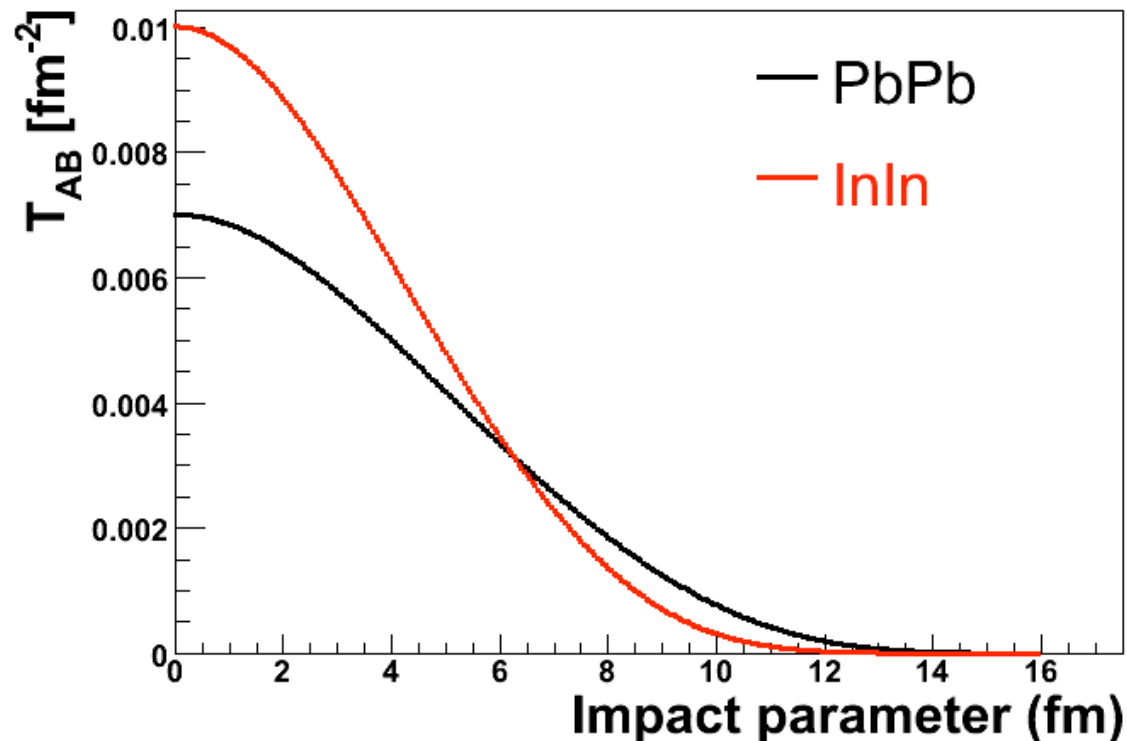
Grafici di $T_{AB}(b)$

- Se i nuclei non sono deformati, la nuclear overlap function dipende solo dal modulo del parametro di impatto e non dalla sua direzione

$$T_{AB}(\vec{b}) = T_{AB}(b)$$

- $T_A(b)$ per collisioni InIn e PbPb

⇒ T_{AB} è normalizzato in modo che $\int d^2b T_{AB}(b) = 2\pi \int b db T_{AB}(b) = 1$



Probabilità di n collisioni nucleone-nucleone

- La probabilità che in una collisione di due nuclei A e B a parametro di impatto b avvengano n collisioni nucleone-nucleone e' data dalla legge binomiale:

$$P_n(b) = \binom{AB}{n} [\sigma_{inel} T_{AB}(b)]^n [1 - \sigma_{inel} T_{AB}(b)]^{AB-n}$$

Numero di combinazioni che consentono di avere n interazioni su AB "incontri" tra nucleoni dei due nuclei

Probabilità di avere n collisioni tra nucleoni

Probabilità di avere $AB-n$ nucleoni che non interagiscono

Probabilità di interazione nucleo-nucleo

- I due nuclei subiscono una collisione inelastica se c'è stata almeno una collisione inelastica tra due dei nucleoni che li costituiscono

$$P_{AB}(b) = \sum_{n=1}^{AB} P_n(b) = 1 - P_0(b)$$

⇒ dove $P_0(b)$ è la probabilità che non avvenga nessuna collisione inelastica tra due nucleoni. Ed è data da:

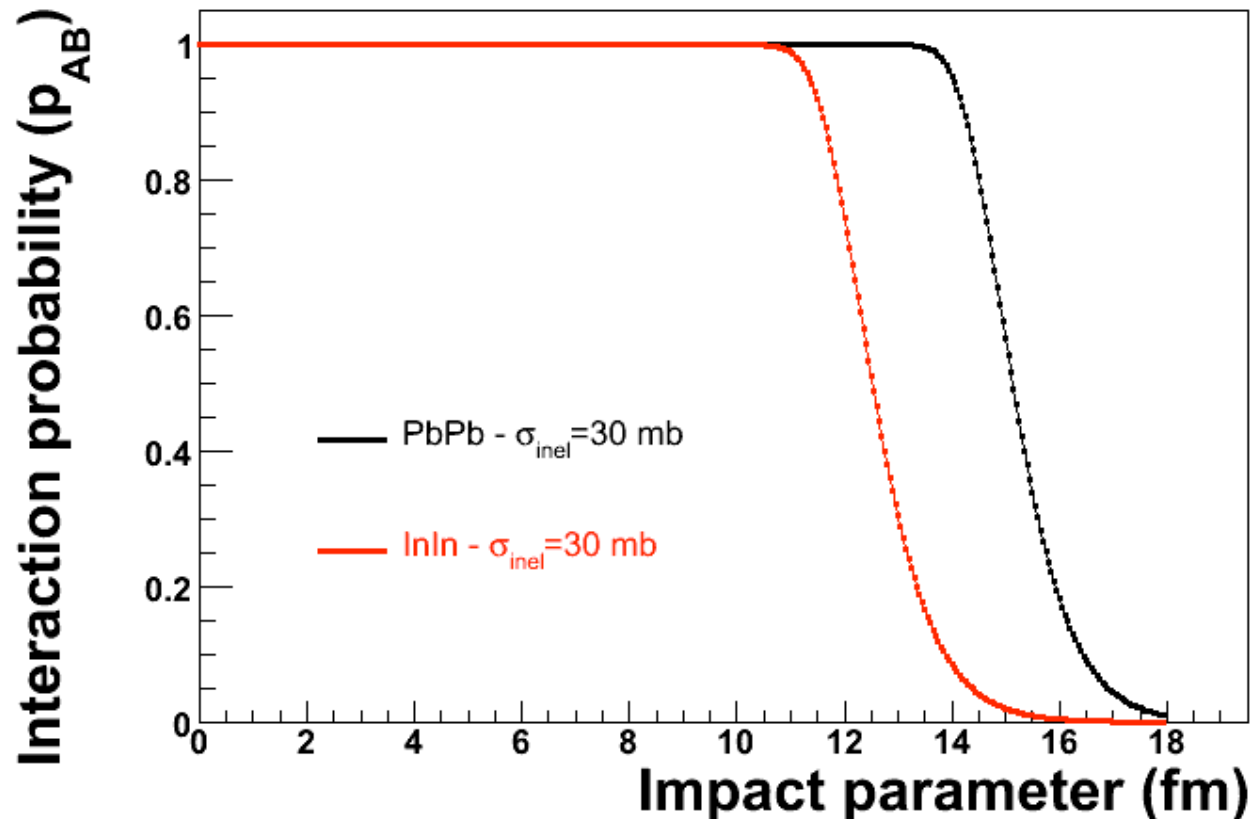
$$P_0(b) = \binom{AB}{0} [\sigma_{inel} T_{AB}(b)]^0 [1 - \sigma_{inel} T_{AB}(b)]^{AB-0} = [1 - \sigma_{inel} T_{AB}(b)]^{AB}$$

⇒ Quindi:

$$P_{AB}(b) = 1 - [1 - \sigma_{inel} T_{AB}(b)]^{AB}$$

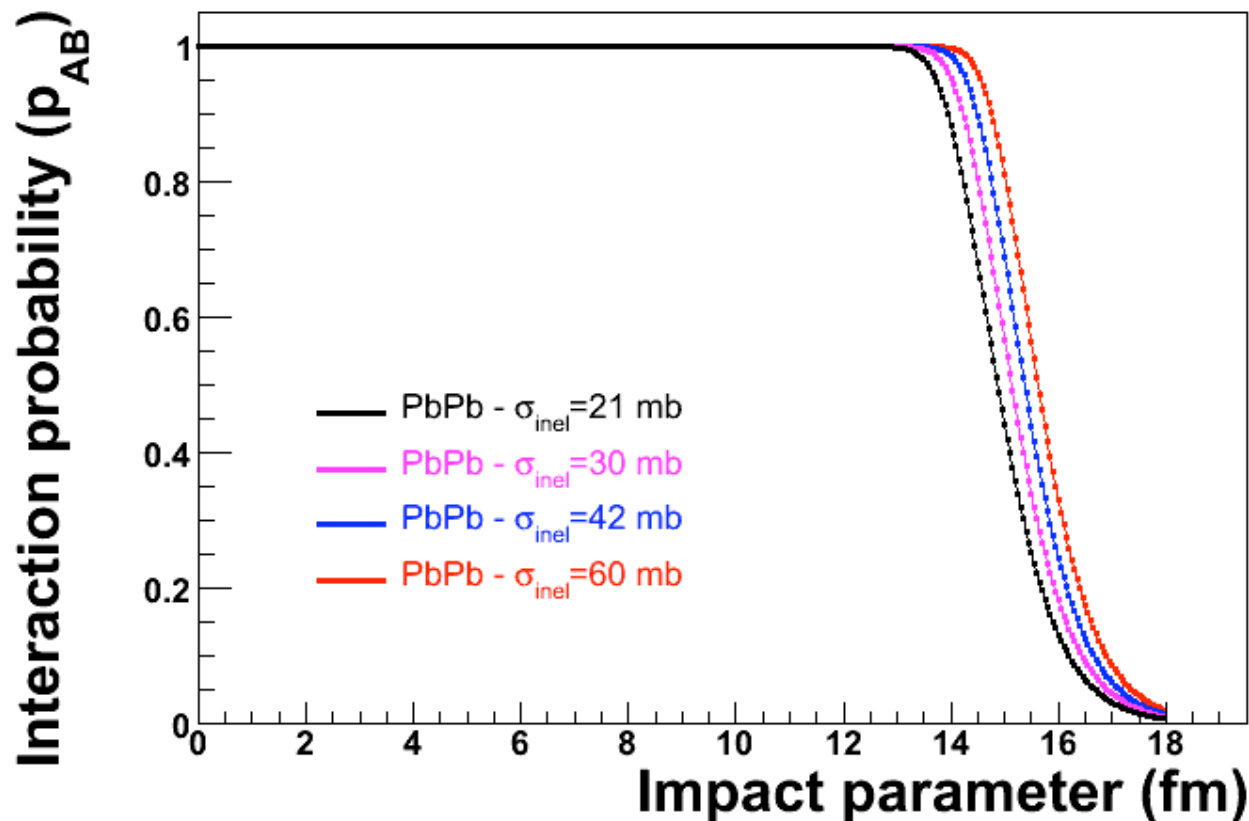
Grafici di p_{AB} vs. b (I)

- La probabilità di interazione dei due nuclei
 - ⇒ è =1 per $b < \approx 2R$
 - ⇒ Diminuisce per $b > 2R$, quando solo le code delle Woods-Saxon si sovrappongono



Grafici di p_{AB} vs. b (II)

- Per $\sigma_{inel} > 20$ mb, la dipendenza dalla sezione d'urto nucleone-nucleone si manifesta solo per $b > 2R$, quando solo le code delle Woods-Saxon si sovrappongono



Accel.	\sqrt{s} (GeV)	σ_{total} (mb)	σ_{inel} (mb)
AGS	3-5	40	21
SPS	17	40	33
RHIC	200	50	42
LHC(Pb)	5500	90	60
LHC(p)	14000	100	79

Sezione d'urto inelastica per collisioni nucleo-nucleo

- La sezione d'urto totale per una collisione inelastica tra due nuclei A e B è data da:

$$\begin{aligned}\sigma_{AB}^{tot} &= \int d^2b p_{AB}(b) = \int d^2b \left\{ 1 - [1 - \sigma_{inel} T_{AB}(b)]^{AB} \right\} \\ &= 2\pi \int_0^\infty b db \left\{ 1 - [1 - \sigma_{inel} T_{AB}(b)]^{AB} \right\}\end{aligned}$$

- La sezione d'urto per eventi con parametro di impatto $b < b_c$ è data da:

$$\sigma_{AB}(b < b_c) = 2\pi \int_0^{b_c} b db \left\{ 1 - [1 - \sigma_{inel} T_{AB}(b)]^{AB} \right\}$$

Grafici di σ_{AB} vs. b_c

- La sezione d'urto totale dipende:

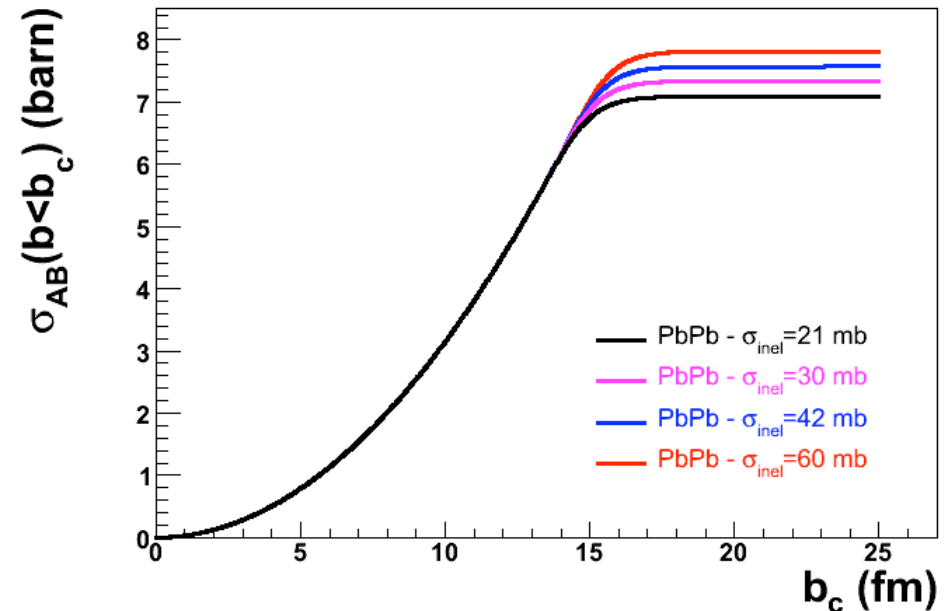
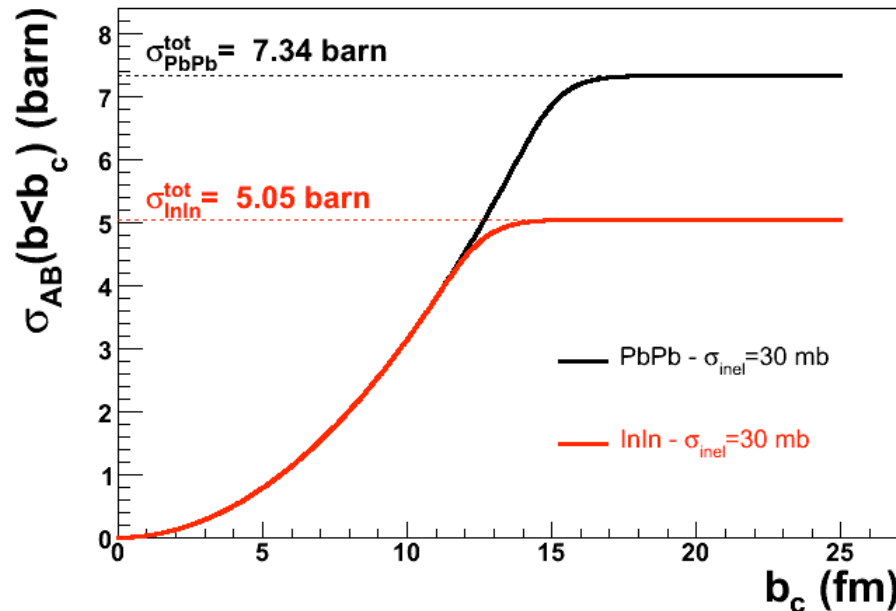
⇒ dalla dimensione dei nuclei collidenti

✓ *Può essere approssimata come:*

$$\sigma_{AB}^{tot} = \sigma_0 (A^{1/3} + B^{1/3} - \delta)^2 \quad \text{con} \quad \sigma_0 \approx 65 - 70 \text{ mb}, \quad \delta \approx 1.3$$

⇒ dalla sezione d'urto inelastica nucleone-nucleone σ_{inel}

✓ *Essenzialmente per effetto delle code della Woods-Saxon*



***Numero di collisioni
nucleone-nucleone***

Numero di collisioni vs. b

- Il numero medio di collisioni in una collisione tra due nuclei A e B con parametro di impatto b si ottiene usando la proprietà della media della distribuzione binomiale:

$$\mu = Np$$

⇒ dove N è il numero di "prove" e p la probabilità di successo

⇒ Nel nostro caso:

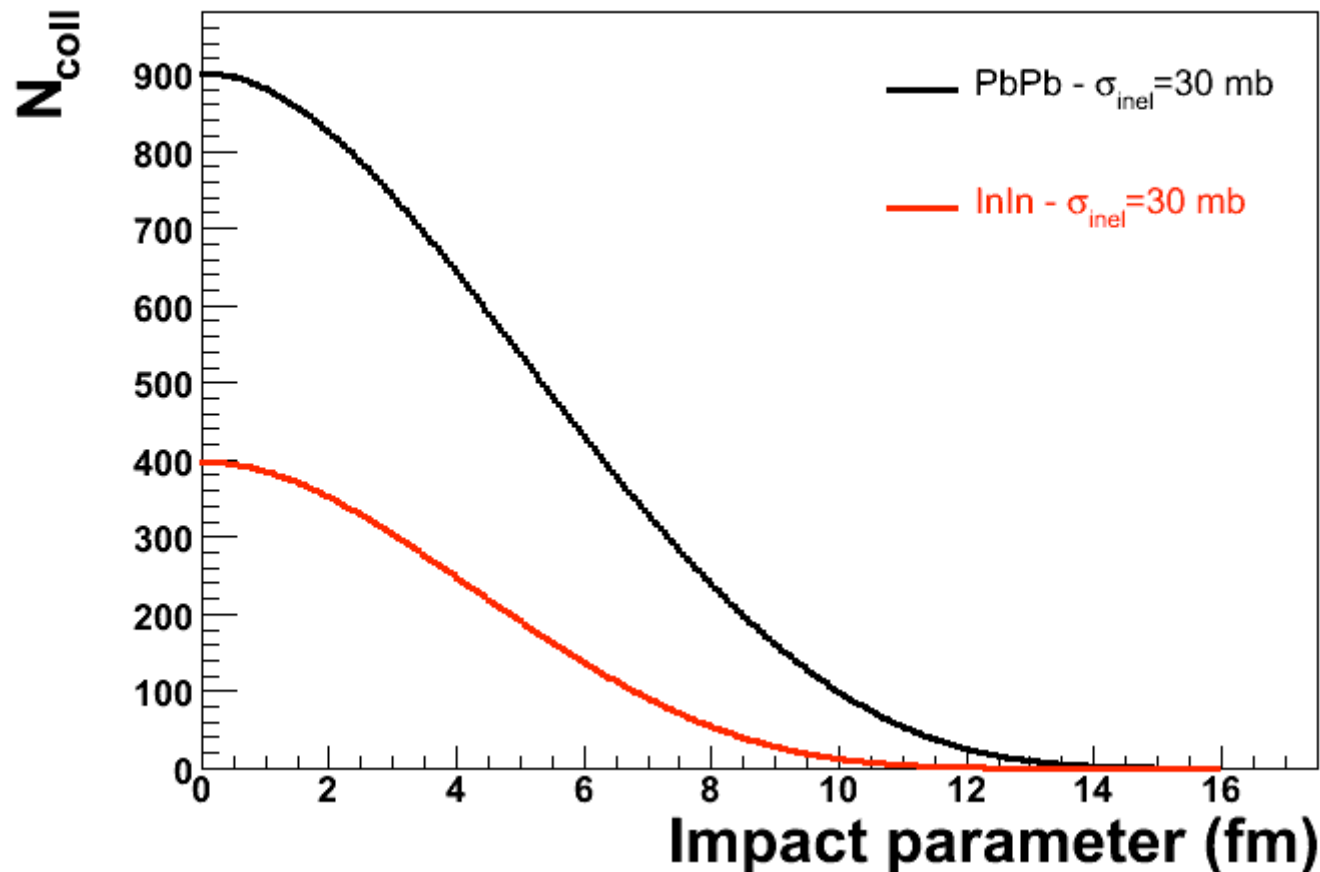
$$P_n(b) = \binom{AB}{n} [\sigma_{inel} T_{AB}(b)]^n [1 - \sigma_{inel} T_{AB}(b)]^{AB-n}$$

⇒ da cui:

$$N_{coll}(b) = AB \sigma_{inel} T_{AB}(b)$$

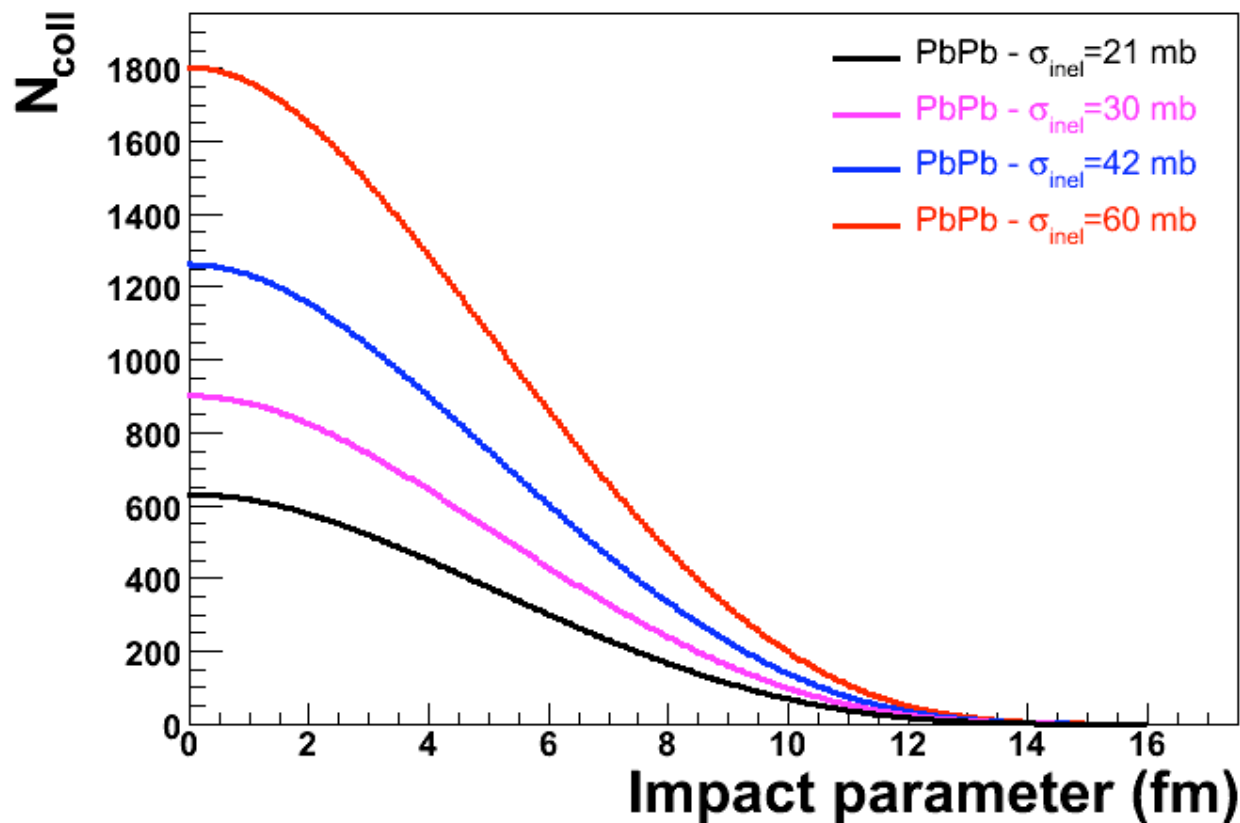
Grafici di N_{coll} vs. b (I)

- N_{coll} grande per collisioni centrali ($b \approx 0$)
- $N_{coll} \rightarrow 0$ per collisioni periferiche ($b \approx 2R$)
- A parità di parametro di impatto, N_{coll} cresce al crescere della dimensione dei nuclei collidenti ($N_{coll} \propto AB$, $N_{coll} \ll AB$)



Grafici di N_{coll} vs. b (II)

- A parità di parametro di impatto e di dimensione dei nuclei collidenti, N_{coll} cresce al crescere della sezione d'urto σ_{inel} ($N_{coll} \propto \sigma_{inel}$)



Accel.	\sqrt{s} (GeV)	σ_{total} (mb)	σ_{inel} (mb)
AGS	3-5	40	21
SPS	17	40	33
RHIC	200	50	42
LHC(Pb)	5500	90	60
LHC(p)	14000	100	79

Fluttuazioni sul numero di collisioni vs. b

- La formula:

$$N_{coll}(b) = AB\sigma_{inel}T_{AB}(b)$$

dà il numero medio di collisioni elementari in una collisione tra due nuclei A e B con parametro di impatto b

- Questo valore è soggetto a fluttuazioni statistiche

⇒ la deviazione standard di una distribuzione binomiale è data da:

$$\sigma = \sqrt{Npq} = \sqrt{Np(1-p)}$$

⇒ Nel nostro caso:

$$\sigma_{Ncoll}(b) = \sqrt{AB\sigma_{inel}T_{AB}(b)[1 - \sigma_{inel}T_{AB}(b)]}$$

***Numero di nucleoni
partecipanti e spettatori***

Interazione di un nucleone (I)

- La probabilità di interazione tra un nucleone del nucleo proiettile A con coordinata s sul piano trasverso con uno dei B nucleoni del bersaglio è:

$$p = \sigma_{inel} T_B(\vec{b} - \vec{s})$$

⇒ $T_B(\mathbf{b}-\mathbf{s})$ è la probabilità di avere un nucleone nel nucleo B alla coordinata trasversa $\mathbf{b}-\mathbf{s}$ (misurata rispetto al centro del nucleo B)

- La probabilità che non interagisca è:

$$q = 1 - p = 1 - \sigma_{inel} T_B(\vec{b} - \vec{s})$$

- La probabilità che un nucleone del nucleo proiettile A non interagisca con nessuno dei B nucleoni del nucleo bersaglio è data da:

$$Q_{nB}(b, \vec{s}) = q^B = \left[1 - T_B(\vec{b} - \vec{s}) \sigma_{inel} \right]^B$$

Interazione di un nucleone (II)

- La probabilità che un nucleone del nucleo proiettile A con coordinata s sul piano trasverso interagisca con almeno uno dei B nucleoni del bersaglio è:

$$P_{nB}(b, \vec{s}) = 1 - Q_{nB}(b, \vec{s}) = 1 - \left[1 - T_B(\vec{b} - \vec{s}) \sigma_{inel} \right]^B$$

⇒ p_{nB} rappresenta la probabilità di interazione nucleone-nucleo

⇒ Analoga a quella nucleo-nucleo $p_{AB}(b) = 1 - [1 - \sigma_{inel} T_{AB}(b)]^{AB}$ con $A=1$

- Integrando sulle possibili posizioni del nucleone n all'interno del nucleo A :

$$P_{nB}(b) = \int d^2s P_{nB}(b, \vec{s}) = \int d^2s T_A(\vec{s}) \left\{ 1 - \left[1 - T_B(\vec{b} - \vec{s}) \sigma_{inel} \right]^B \right\}$$

⇒ $T_A(s)$ è la probabilità di trovare un nucleone del nucleo A nel punto di coordinata trasversa s .

⇒ $P_{nB}(b)$ è la probabilità che il nucleone n del nucleo A interagisca con uno qualunque dei nucleoni del nucleo B , cioè che il nucleone n sia un nucleone partecipante

Numero di partecipanti (I)

- La probabilità di avere α nucleoni partecipanti nel nucleo A è quindi data dalla legge binomiale:

$$P_{\alpha}(b) = \binom{A}{\alpha} [P_{nB}(b)]^{\alpha} [1 - P_{nB}(b)]^{A-\alpha}$$

- Il numero medio di partecipanti del nucleo A sarà quindi:

$$\langle \alpha \rangle = AP_{nB}(b) = A \int d^2s T_A(\vec{s}) \left\{ 1 - \left[1 - T_B(\vec{b} - \vec{s}) \sigma_{inel} \right]^B \right\}$$

- Ripetendo il ragionamento per il nucleo bersaglio si ha che il numero medio di partecipanti del nucleo B è:

$$\langle \beta \rangle = BP_{nA}(b) = B \int d^2s T_B(\vec{b} - \vec{s}) \left\{ 1 - \left[1 - T_A(\vec{s}) \sigma_{inel} \right]^A \right\}$$

Numero di partecipanti (II)

- Il numero medio di nucleoni partecipanti in collisioni con parametro di impatto b è dato da

$$N_{part}(b) = \langle \alpha \rangle + \langle \beta \rangle =$$

Contributo del nucleo proiettile

Contributo del nucleo bersaglio

$$= \int d^2s \left\{ AT_A(\vec{s}) \left[1 - \left(1 - T_B(\vec{b} - \vec{s}) \sigma_{inel} \right)^B \right] + BT_B(\vec{b} - \vec{s}) \left[1 - \left(1 - T_A(\vec{s}) \sigma_{inel} \right)^A \right] \right\}$$

Numero di nucleoni nel nucleo proiettile

Probabilità che il nucleone del nucleo proiettile A interagisca con almeno uno dei nucleoni del nucleo B

Probabilità di avere un nucleone in posizione $b-s$ nel nucleo bersaglio

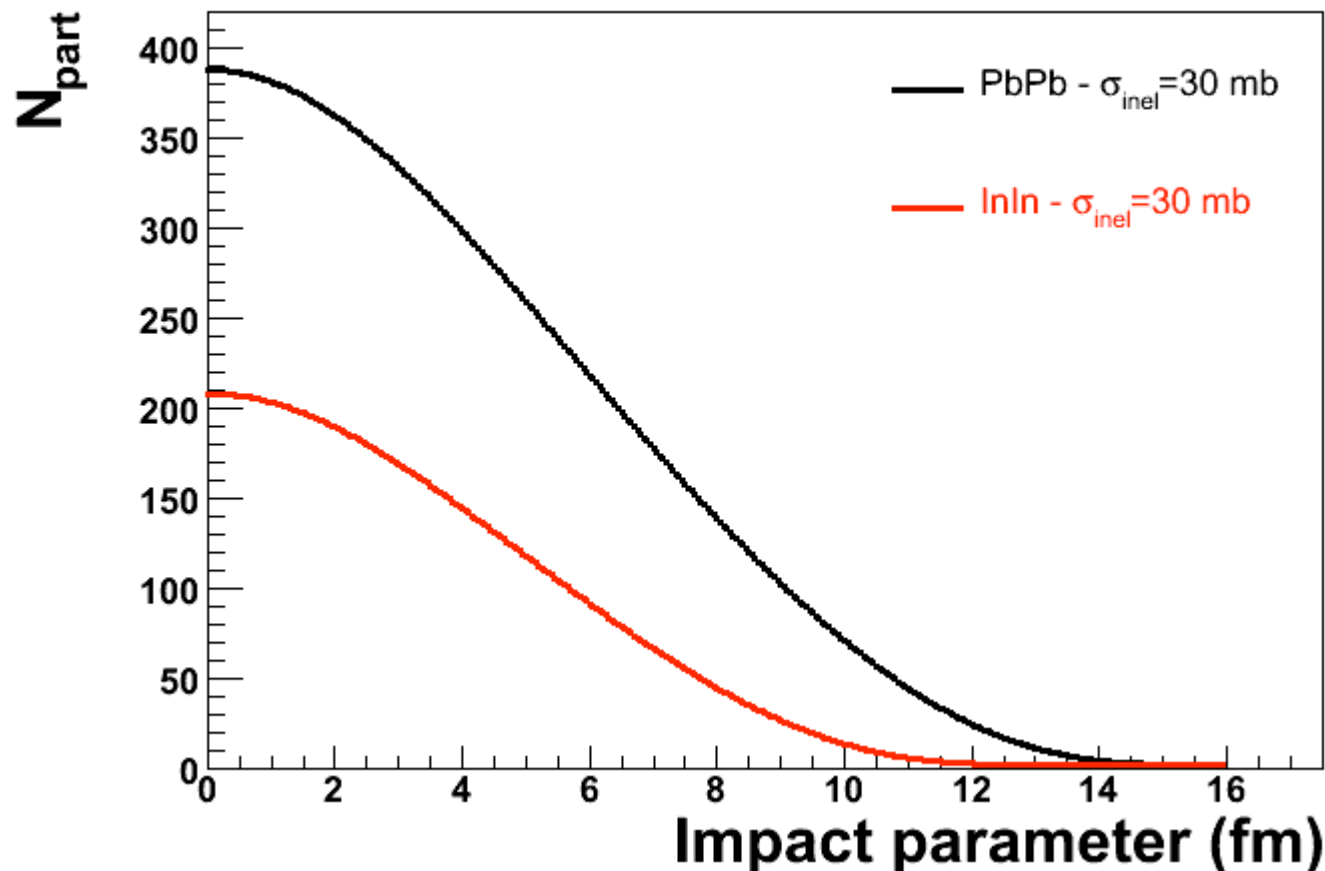
Probabilità di avere un nucleone in posizione s nel nucleo proiettile

Numero di nucleoni nel nucleo bersaglio

Probabilità che il nucleone del nucleo bersaglio B interagisca con almeno uno dei nucleoni del nucleo A

Grafici di N_{part} vs. b (I)

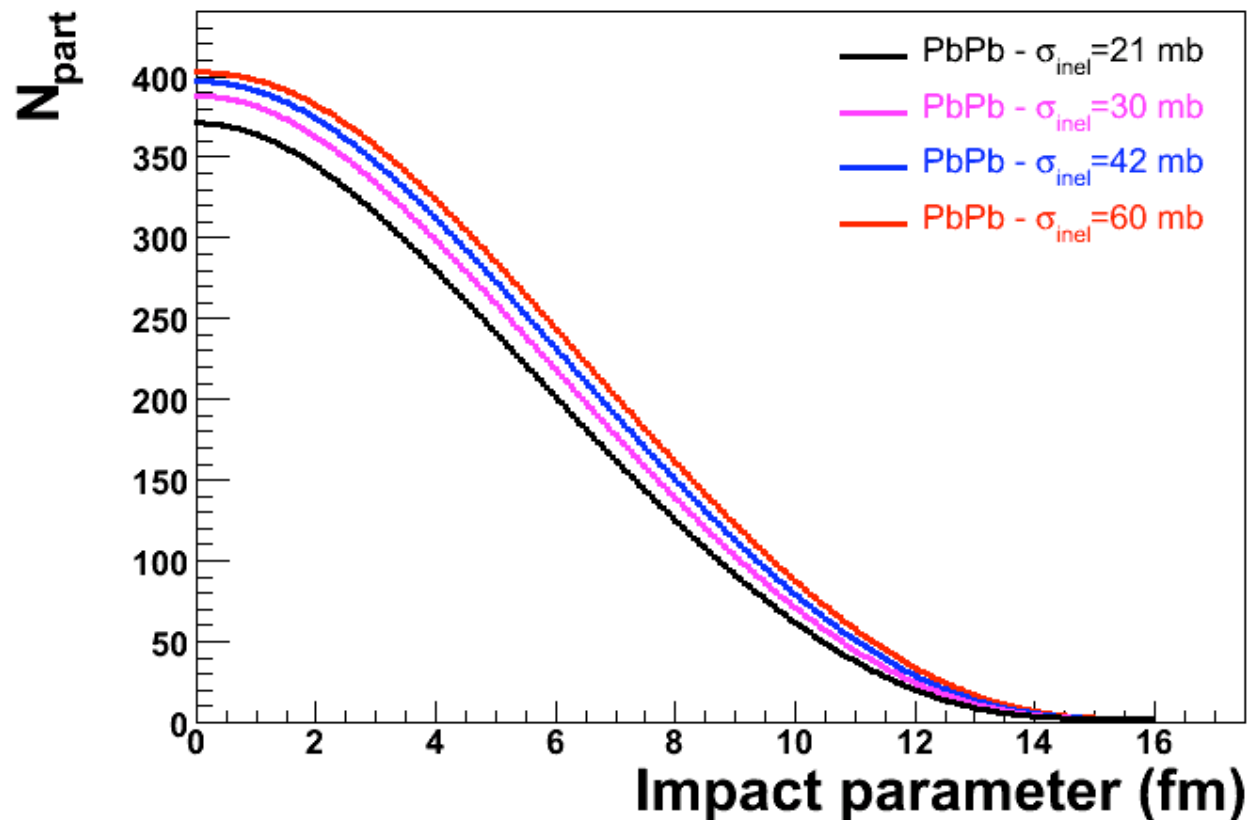
- N_{part} grande ($\approx A+B$) per collisioni centrali ($B \approx 0$)
- $N_{part} \rightarrow 0$ per collisioni periferiche ($B \approx 2R$)
- A parità di parametro di impatto, N_{part} cresce al crescere della dimensione dei nuclei collidenti ($N_{part} \propto A$)



Grafici di N_{part} vs. b (II)

- Rispetto a N_{coll} , la dipendenza dalla sezione d'urto σ_{inel} è meno forte

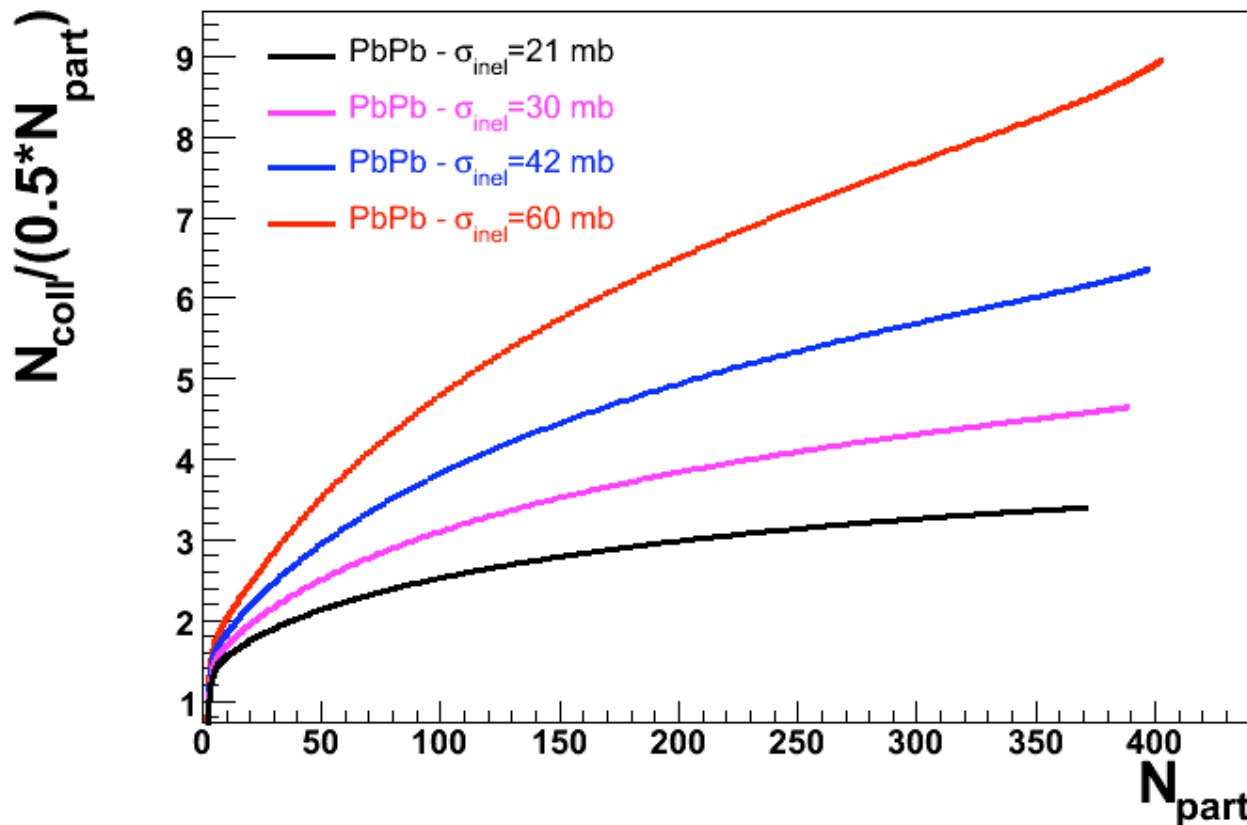
⇒ Per $\sigma_{inel} > 30$ mb praticamente tutti i nucleoni della regione di overlap interagiscono almeno una volta e quindi "partecipano"



Accel.	\sqrt{s} (GeV)	σ_{total} (mb)	σ_{inel} (mb)
AGS	3-5	40	21
SPS	17	40	33
RHIC	200	50	42
LHC(Pb)	5500	90	60
LHC(p)	14000	100	79

Numero di collisioni per partecipante

- Al crescere della centralità e di σ_{inel} cresce il numero medio di collisioni subite da ciascun nucleone partecipante
 - ⇒ La dipendenza da σ_{inel} è dovuta a N_{coll} dato che N_{part} varia poco con σ_{inel}

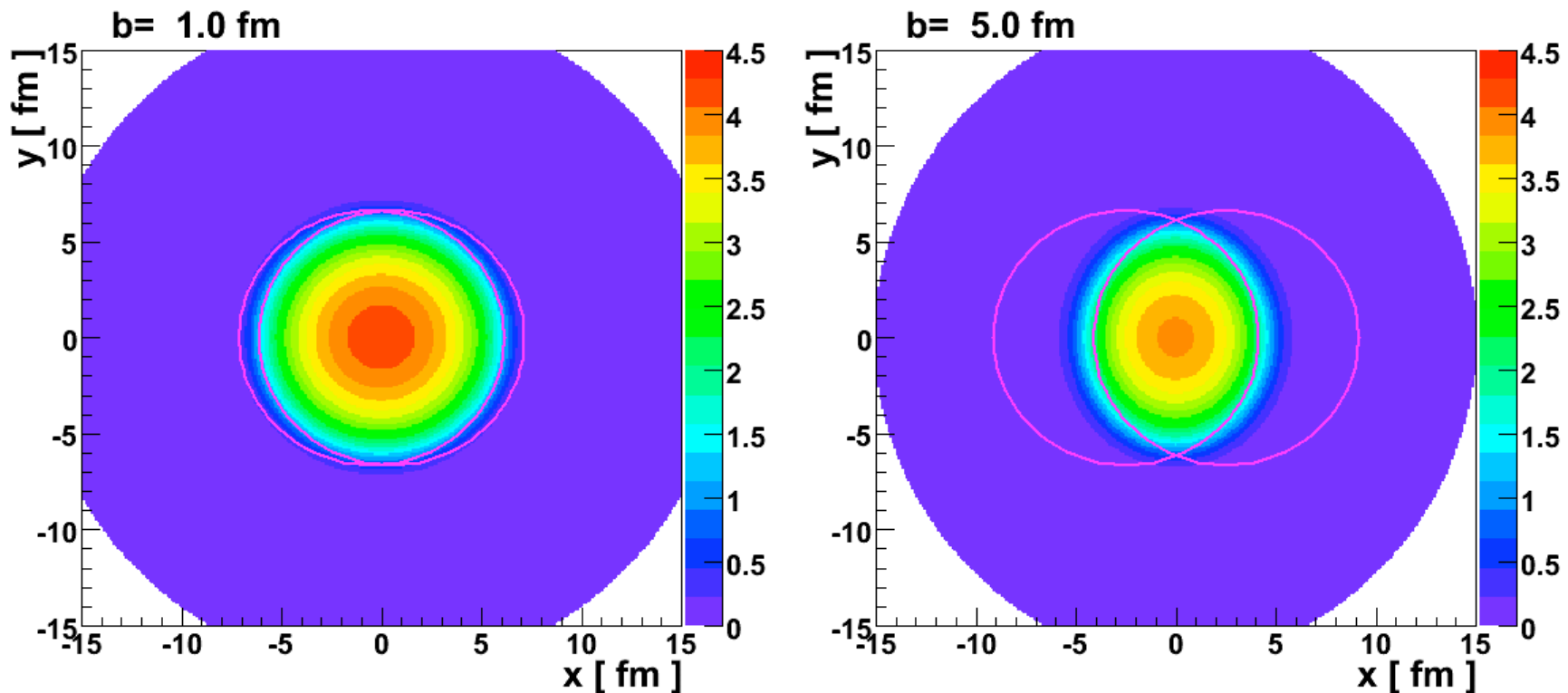


Accel.	\sqrt{s} (GeV)	σ_{total} (mb)	σ_{inel} (mb)
AGS	3-5	40	21
SPS	17	40	33
RHIC	200	50	42
LHC(Pb)	5500	90	60
LHC(p)	14000	100	79

Densità di partecipanti (I)

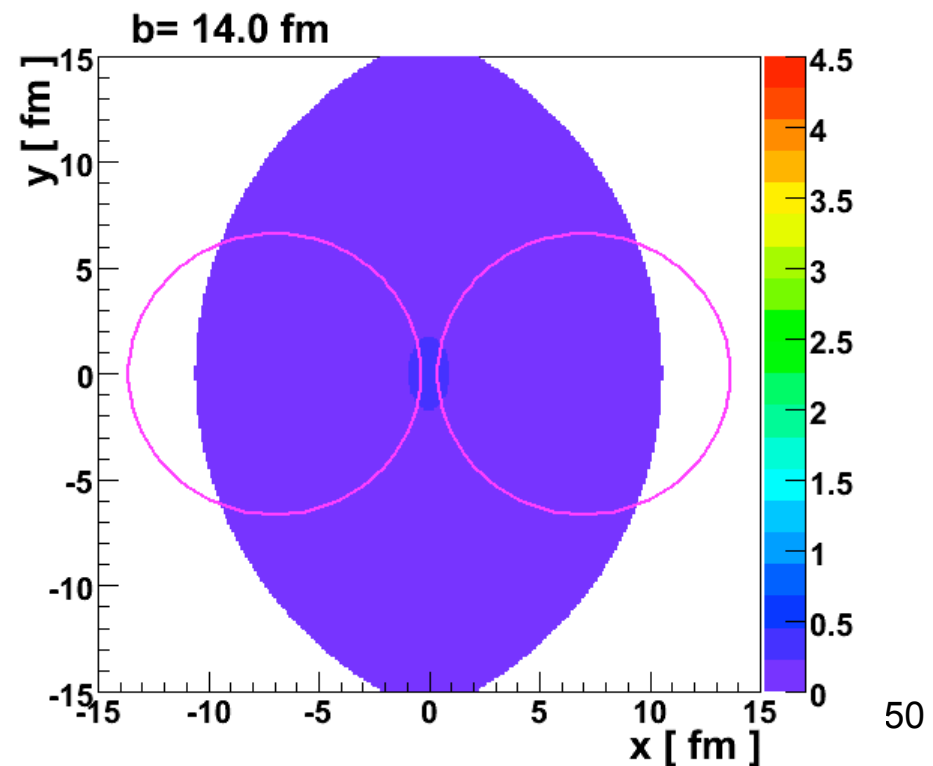
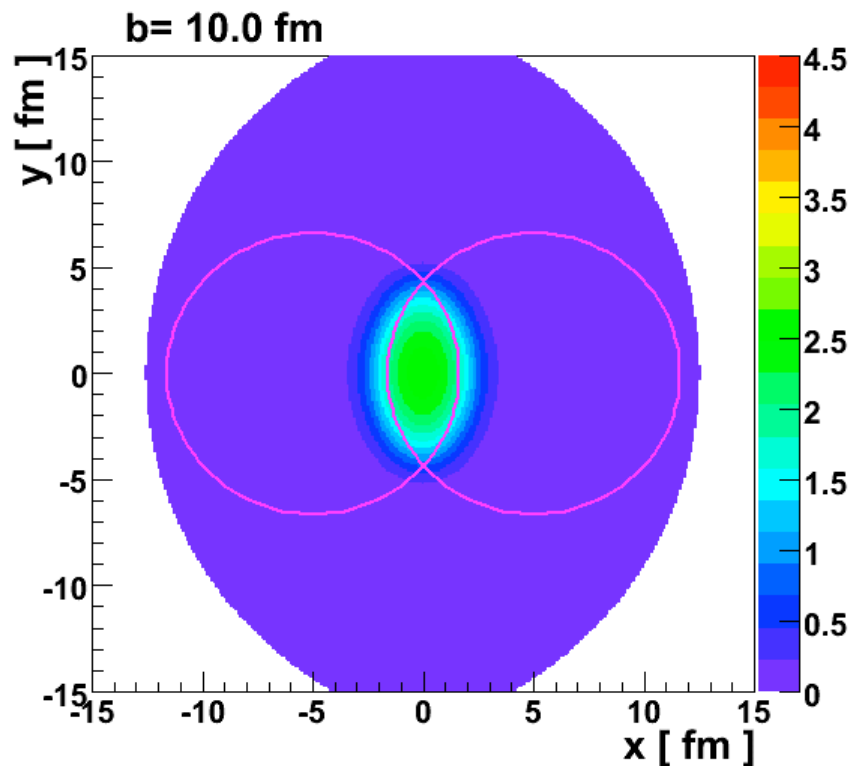
- Si può calcolare la densità dei nucleoni partecipanti = numero di partecipanti per unità di area nel piano trasverso

⇒ La densità di partecipanti (così come quella di collisioni e quella di energia depositata) è massima al centro della regione di overlap dei nuclei collidenti diminuisce man mano che si va verso i bordi



Densità di partecipanti (II)

- La zona di interazione ("fireball") è costituita da:
 - ⇒ una regione centrale ("core") dove c'è un'alta densità di collisioni, quindi alta densità di energia e alta temperatura
 - ✓ *Nel "core" caldo si possono realizzare le condizioni per la formazione del QGP*
 - ⇒ i bordi ("corona") dove la densità di energia e la temperatura sono più bassi



Numero di spettatori

- Il numero medio di nucleoni spettatori per collisioni nucleari a parametro di impatto b si ricava da quello di partecipanti come:

$$N_{spect}(b) = A + B - N_{part}(b)$$

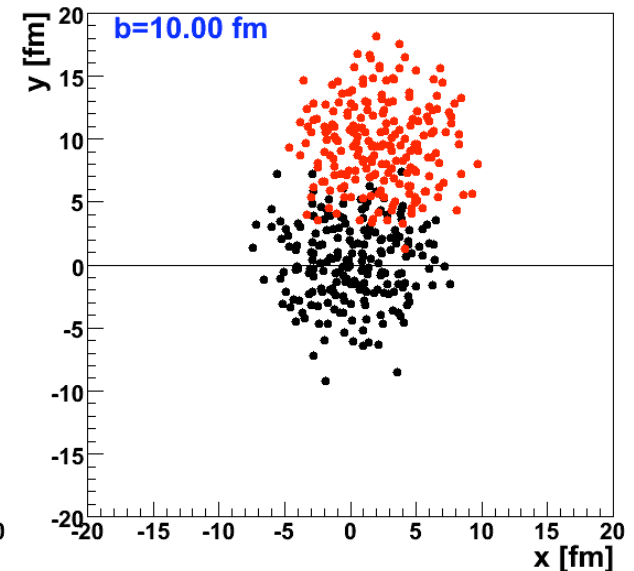
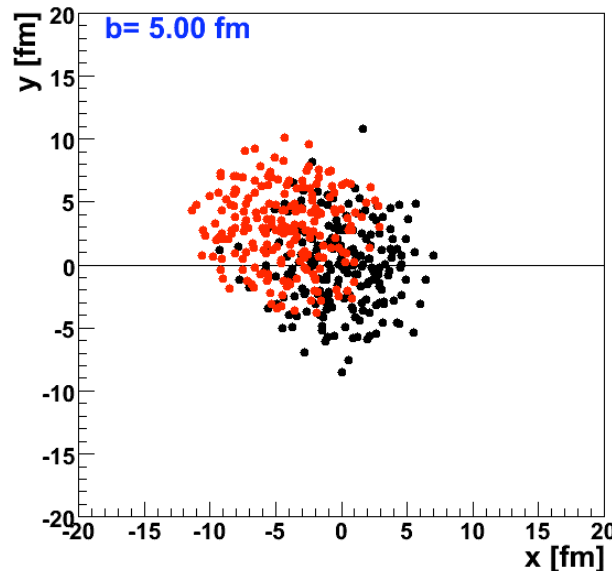
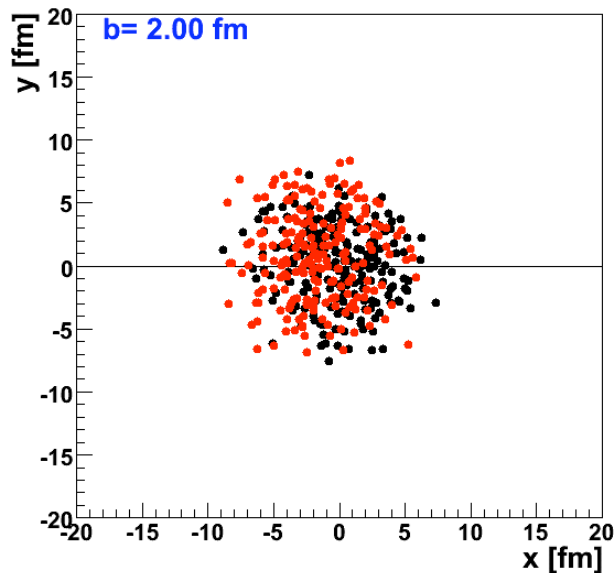
⇒ ed è ovviamente grande per collisioni periferiche e piccolo per collisioni centrali

- Nel caso di collisioni di nuclei uguali ($A=B$), si calcola facilmente il numero medio di spettatori dei nuclei proiettile e bersaglio:

$$N_{spect}^{proj}(b) = N_{spect}^{target}(b) = A - \frac{N_{part}(b)}{2}$$

Implementazione Monte Carlo del modello di Glauber (I)

- Per ogni evento/collisione, si generano le posizioni in 3D dei nucleoni all'interno dei nuclei con una distribuzione di probabilità data dalla densità nucleare ($2pF$, $3pF$ o ...)
 - ⇒ Il centro di uno dei nuclei è traslato rispetto all'origine di un vettore parametro di impatto nel piano trasverso

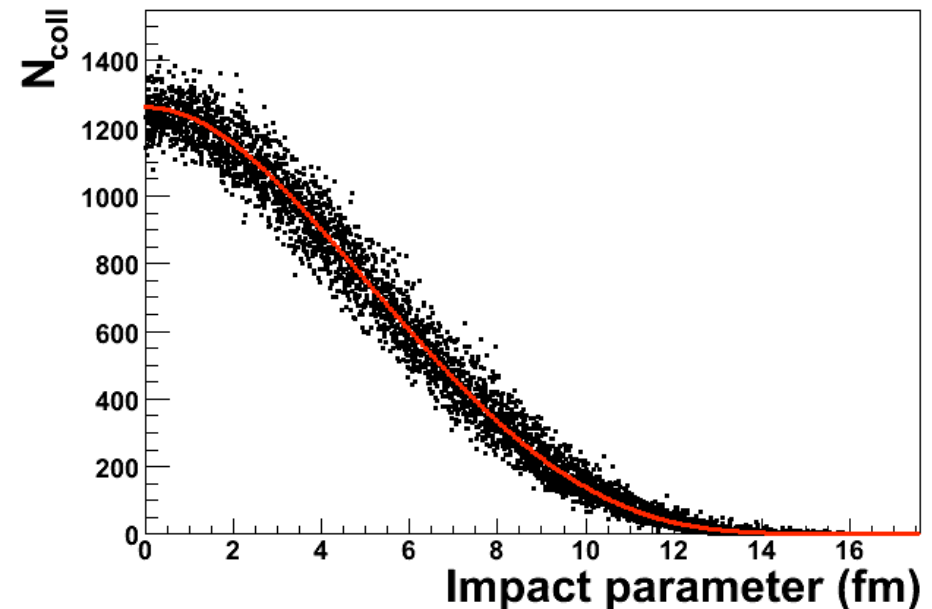
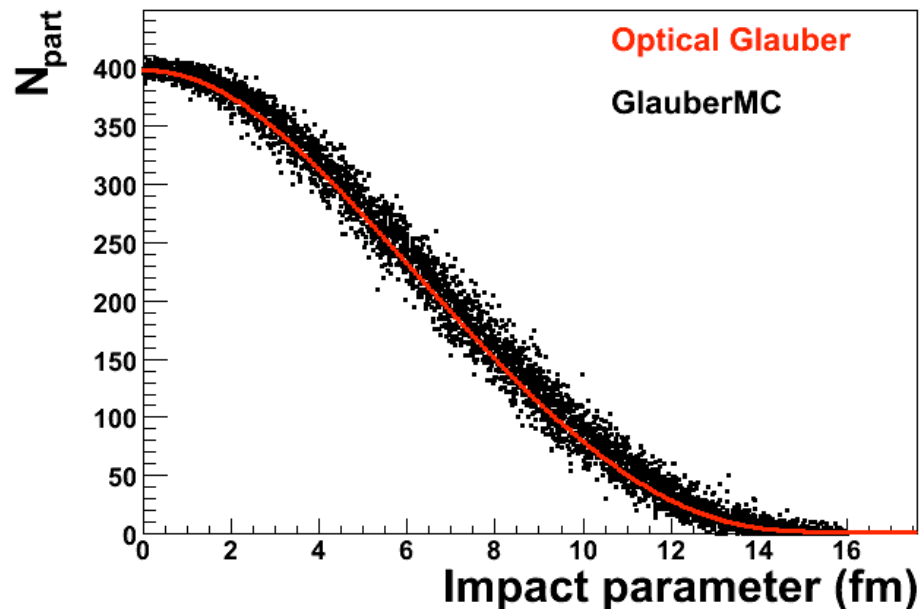


Implementazione Monte Carlo del modello di Glauber (II)

- Si ha una collisione per tutte le coppie di nucleoni che hanno una distanza nel piano trasverso:

$$d \leq \sqrt{\frac{\sigma_{inel}}{\pi}}$$

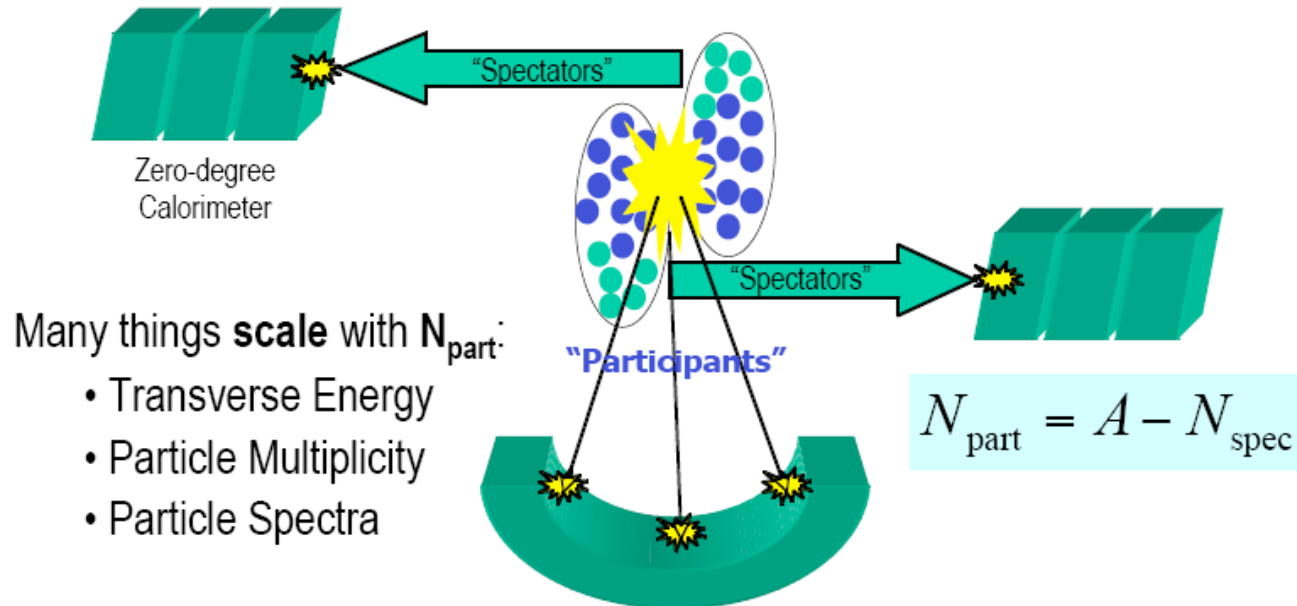
⇒ generando molti eventi si ricavano valori medi e fluttuazioni di N_{part} , N_{coll} ...



***Stima della centralità della
collisione negli esperimenti
con ioni pesanti***

“Misurare” la centralità

- Due strategie sperimentali per stimare il parametro di impatto di una collisione tra ioni pesanti
 - ⇒ Misurare variabili legate all'energia depositata nella regione di interazione di energia (proporzionali a N_{part})
 - ✓ *molteplicità di particelle cariche, energia trasversa*
 - ⇒ Misurare l'energia gli adroni che proseguono lungo la direzione del fascio (proporzionale a N_{spect})
 - ✓ *calorimetri adronici a zero gradi (ZDC)*



Zero Degree Calorimeters

- **Obiettivo: misurare l'energia dei nucleoni spettatori**

- ⇒ Nella collisione i nuclei si rompono e danno origine a protoni, neutroni e frammenti (soprattutto particelle α)

- ⇒ I nucleoni spettatori continuano a viaggiare nella direzione del fascio, quindi si vuole misurare l'energia degli adroni in un piccolo angolo intorno alla direzione del fascio (Zero Degree)

- **Tecnica di rivelazione: calorimetri adronici a campionamento**



- ✓ *Materiali devono essere resistenti alle radiazioni*

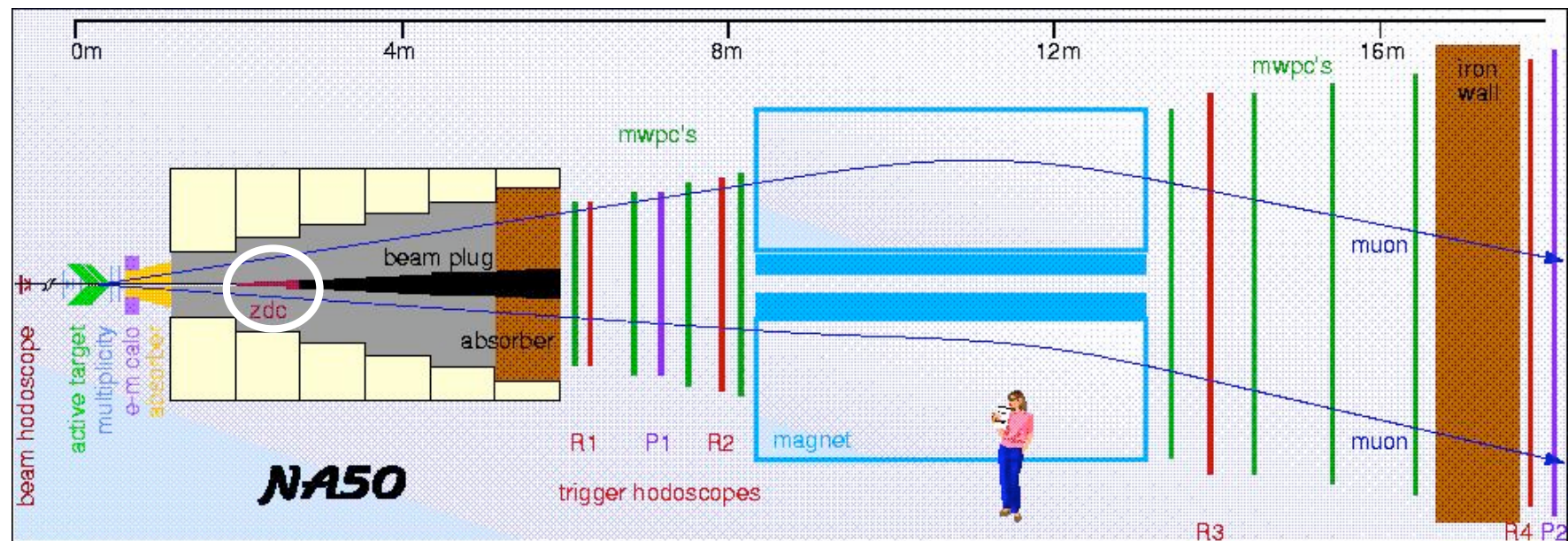
- ⇒ Si usa un volume di materiale pesante (Tantalio, Tungsteno) in cui si forma lo sciame adronico (convertitore)

- ⇒ La parte attiva è costituita da fibre di quarzo inserite nel convertitore che rivelano la luce Cherenkov prodotta dalle particelle dello sciame

- ✓ *La fibre fanno anche da guide di luce e portano i fotoni Cherenkov a dei fotomoltiplicatori*

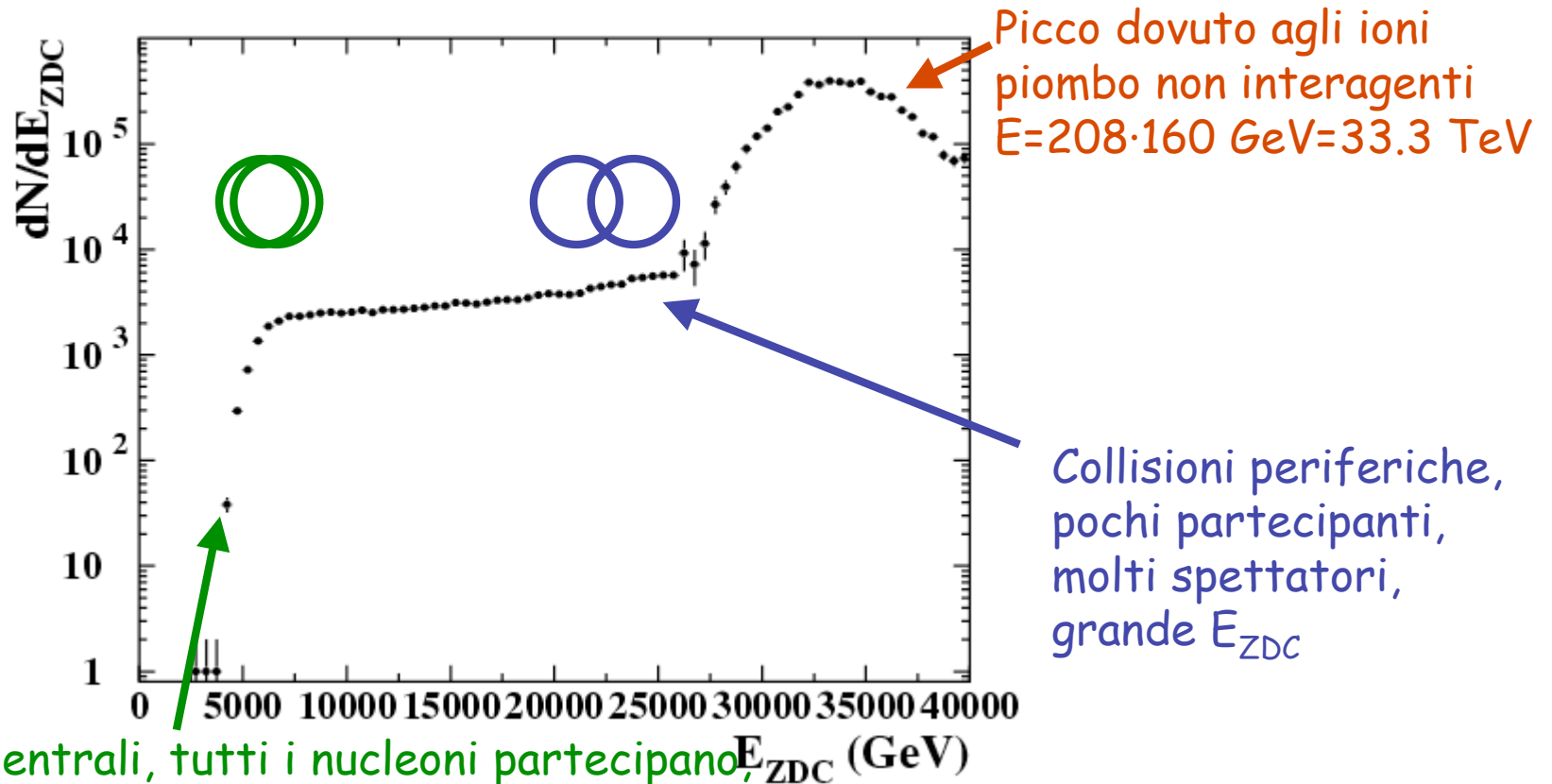
ZDC in esperimenti a targhetta fissa

- Lo ZDC misura l'energia degli spettatori del proiettile
- Non ci sono campi magnetici di ottica del fascio a valle del bersaglio, quindi i nucleoni spettatori e i frammenti proseguono in linea retta lungo la direzione del fascio
 - ⇒ Un solo calorimetro misura l'energia di protoni neutroni e frammenti
 - ⇒ Es. NA50, NA60 e NA49



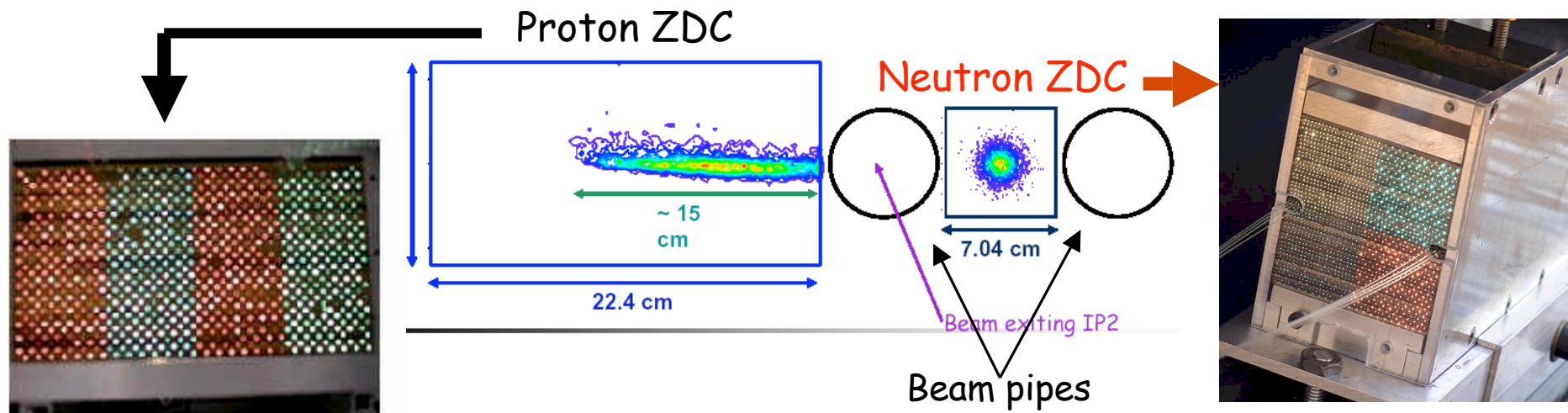
ZDC in esperimenti a targhetta fissa

- Spettro di EZDC misurata dal calorimetro di NA50 in collisioni PbPb



ZDC in esperimenti ai colliders

- Si può misurare l'energia degli spettatori di entrambi i nuclei collidenti
 - ⇒ Servono 2 set di calorimetri, ai due lati della zona di interazione
- I campi magnetici dell'ottica del fascio deflettono gli spettatori:
 - ⇒ I neutroni (carica nulla) proseguono in linea retta
 - ⇒ I frammenti (rapporto $Z/A \approx 1/2$, simile a quello dei nuclei del fascio), proseguono all'interno del tubo del fascio e non vengono rivelati
 - ⇒ I protoni (rapporto $Z/A=1$) sono deflessi fuori dal tubo di fascio
- Servono due calorimetri (uno per i protoni e uno per i neutroni) da ciascun lato del punto di interazione → in totale 4 ZDC



ZDC in esperimenti ai colliders

- Il fatto di non rivelare i frammenti porta a una rottura della correlazione tra E_{ZDC} e il numero di spettatori
 - ⇒ In collisioni centrali e semicentrali i nuclei collidenti si rompono completamente e si formano pochi frammenti, quindi tutta l'energia degli spettatori viene rivelata
 - ⇒ In collisioni periferiche, si formano invece molti frammenti nucleari e quindi si perde una parte significativa dell'energia degli spettatori
 - ⇒ Si separano i due rami della correlazione $E_{ZDC}-N_{spect}$ inserendo dei calorimetri elettromagnetici che misurano l'energia delle particelle prodotte ad angoli lontani da quelli del fascio

